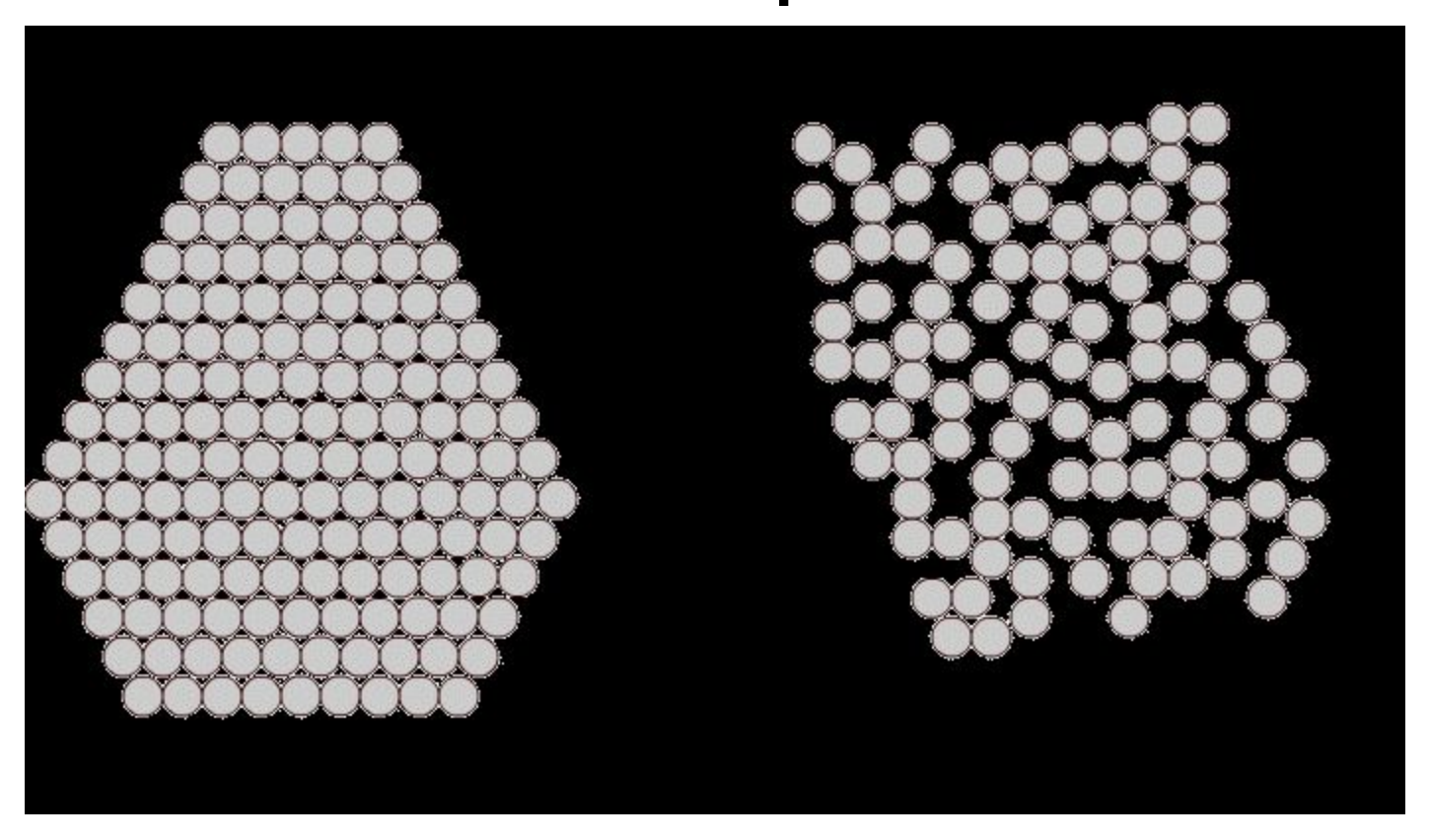


Рис. 1. Строение кристаллической решетки:

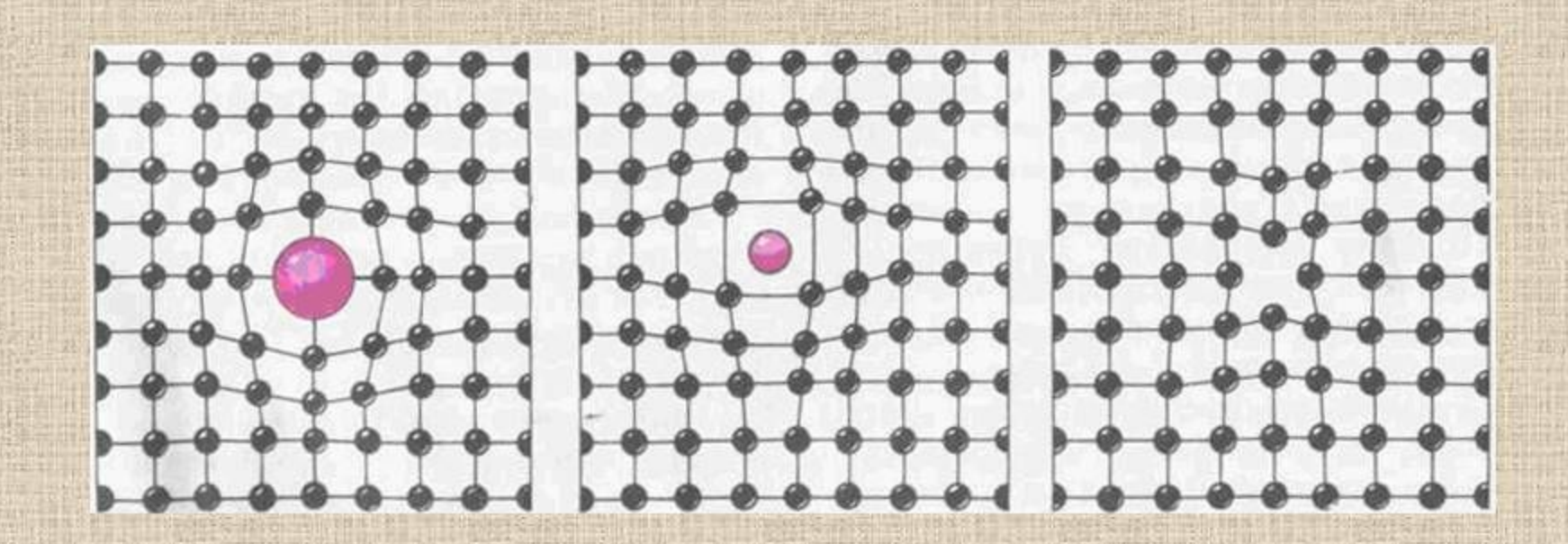
a — кубическая объемноцентрированная,  $\delta$  — кубическая гранецентрированная,  $\delta$  — гексагональная

# Кристаллическое и амморфное состояние кристалла

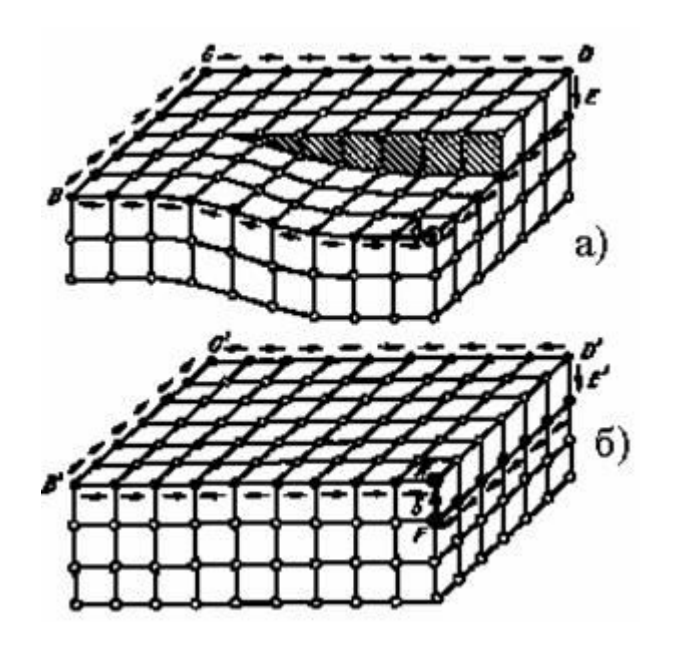


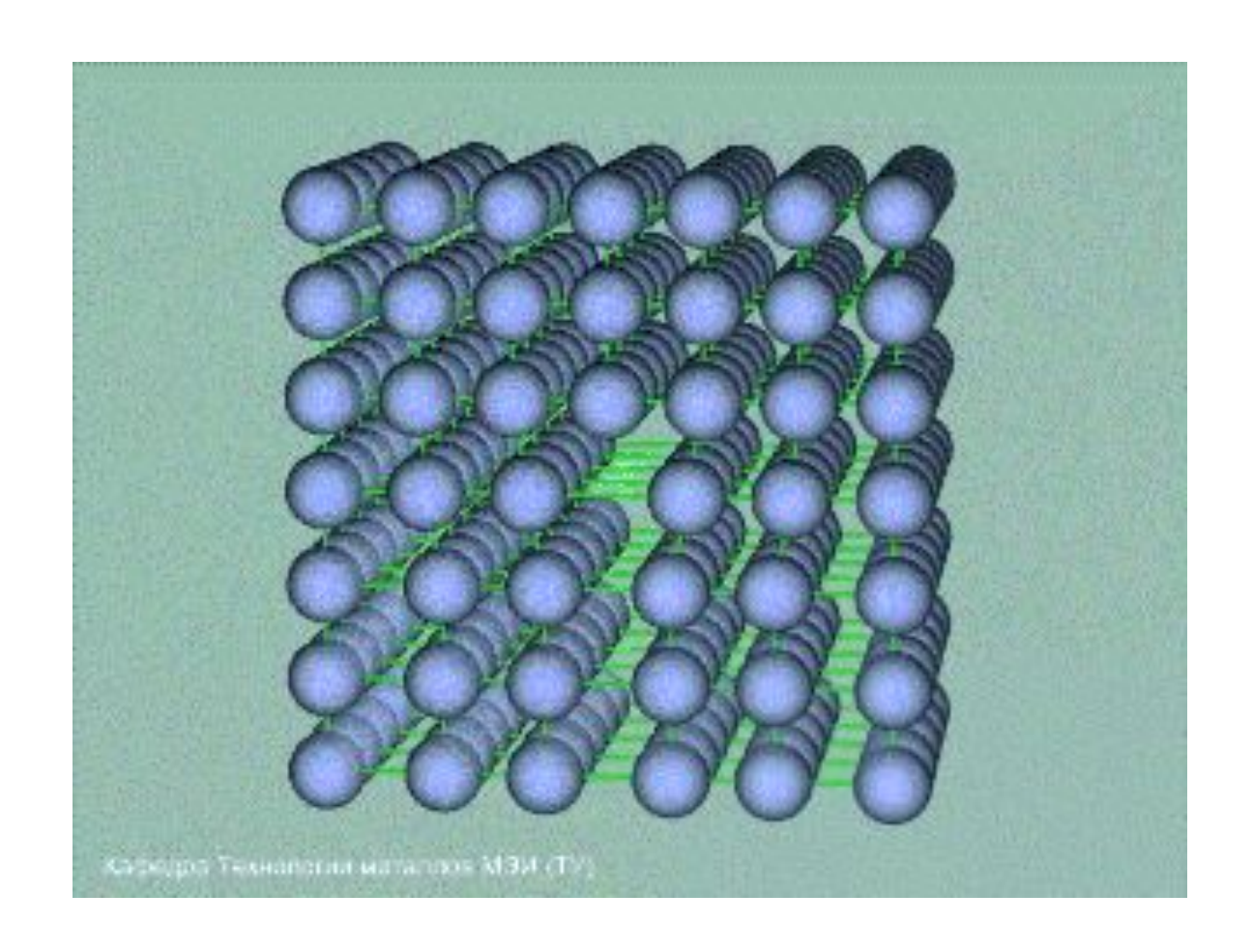
#### Дефекты в кристаллических решетках.

Расположение атомов в кристаллических решетках не всегда правильное. Это дефекты называются дислокацией.

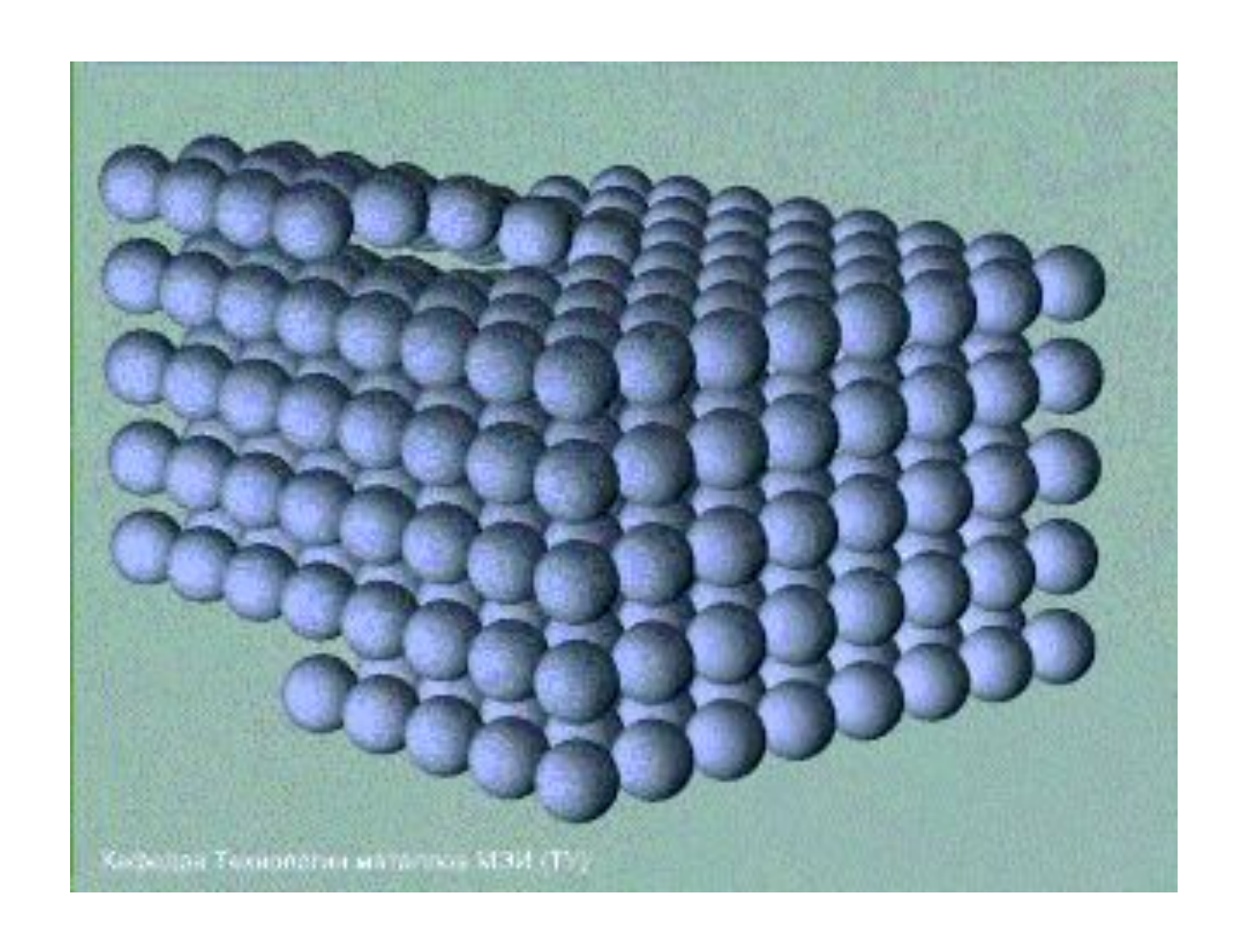


### Дислокации





Краевая дислокация



Винтовая дислокация

# Основные понятия в теории сплавов.

Система – группа тел выделяемых для наблюдения и изучения.

Компоненты – вещества, образующие систему. В качестве компонентов выступают чистые вещества и химические соединения, если они не диссоциируют на составные части в исследуемом интервале температур.

Фаза – однородная часть системы, отделенная от других частей системы поверхностного раздела, при переходе через которую структура и свойства резко меняются.

# В зависимости от характера взаимодействия компонентов различают сплавы:

механические смеси; химические соединения; твердые растворы. **Механические смеси** образуются, когда компоненты не способны к взаимному растворению в твердом состоянии и не вступают в химическую реакцию с образованием соединения

Сплавы химические соединения образуются между элементами, значительно различающимися по строению и свойствам, если сила взаимодействия между разнородными атомами больше, чем между однородными.

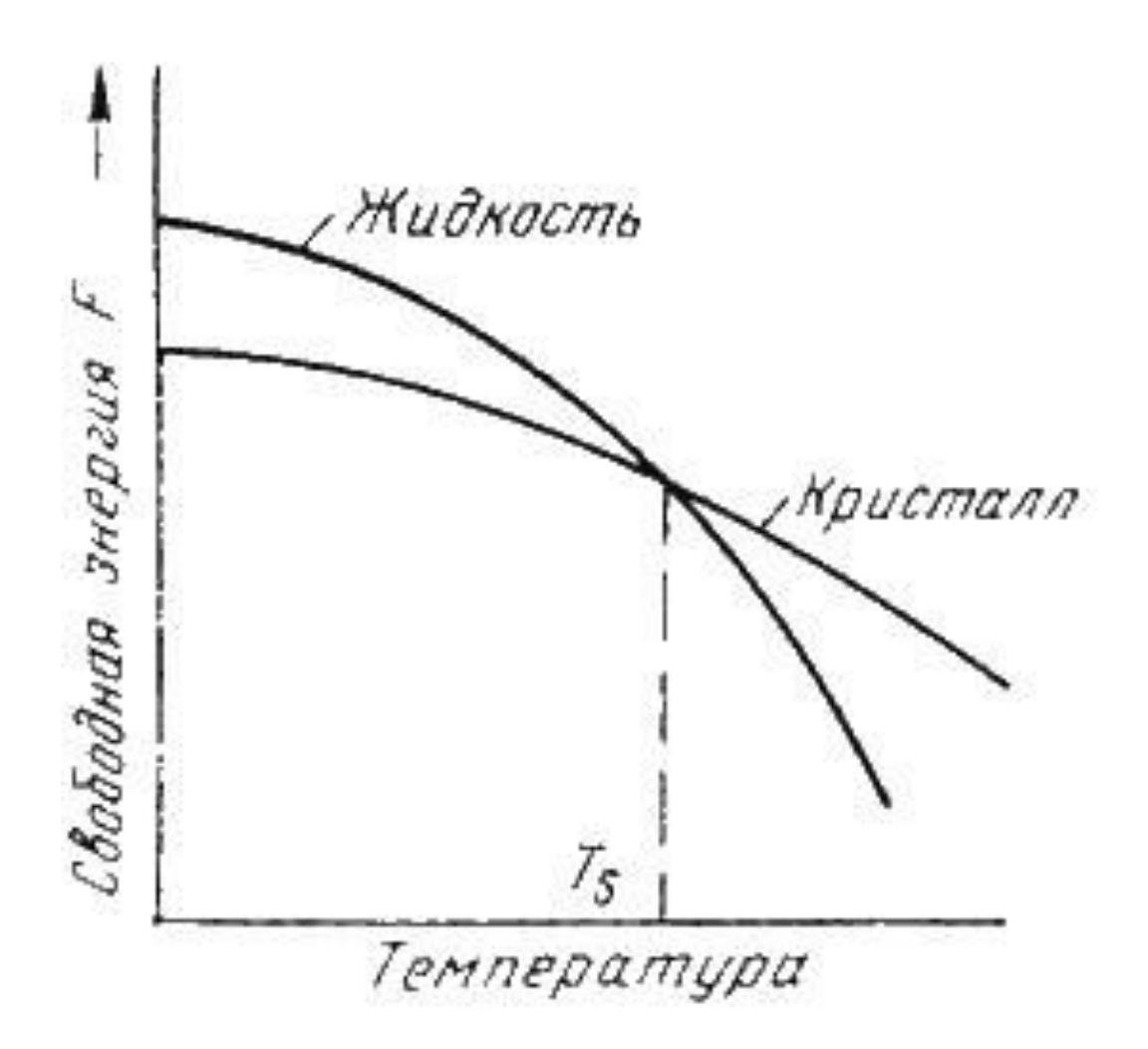
#### Особенности этих сплавов:

Постоянство состава, то есть сплав образуется при определенном соотношении компонентов, химическое соединение обозначается An Bm/

Образуется специфическая, отличающаяся от решеток элементов, составляющих химическое соединение, кристаллическая решетка с правильным упорядоченным расположением атомов Ярко выраженные индивидуальные свойства

Опятельний веществами. Могут изменяться. Являются кристаллическими веществами.

Характерной особенностью твердых растворов является: наличие в их кристаллической решетке разнородных атомов, при сохранении типа решетки растворителя.



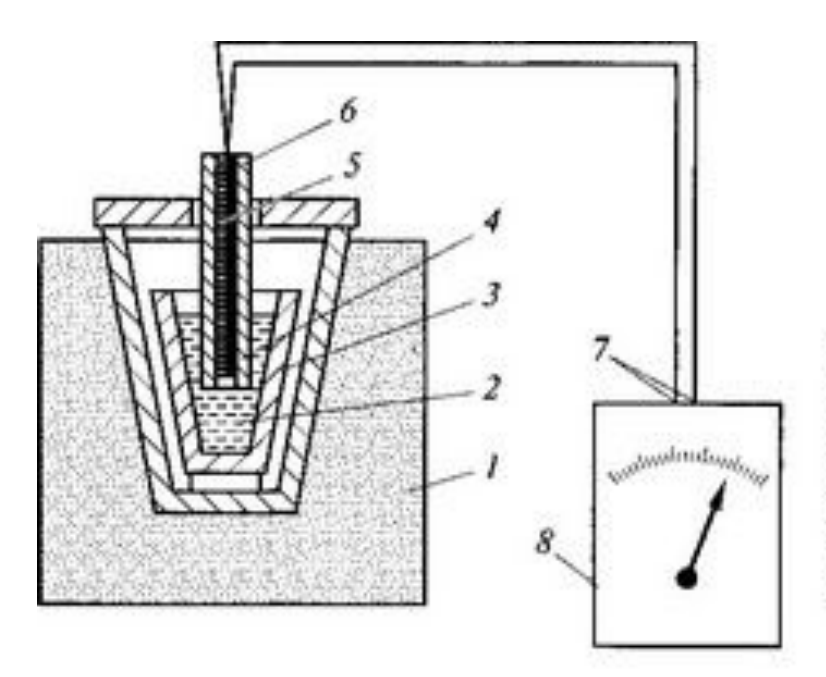
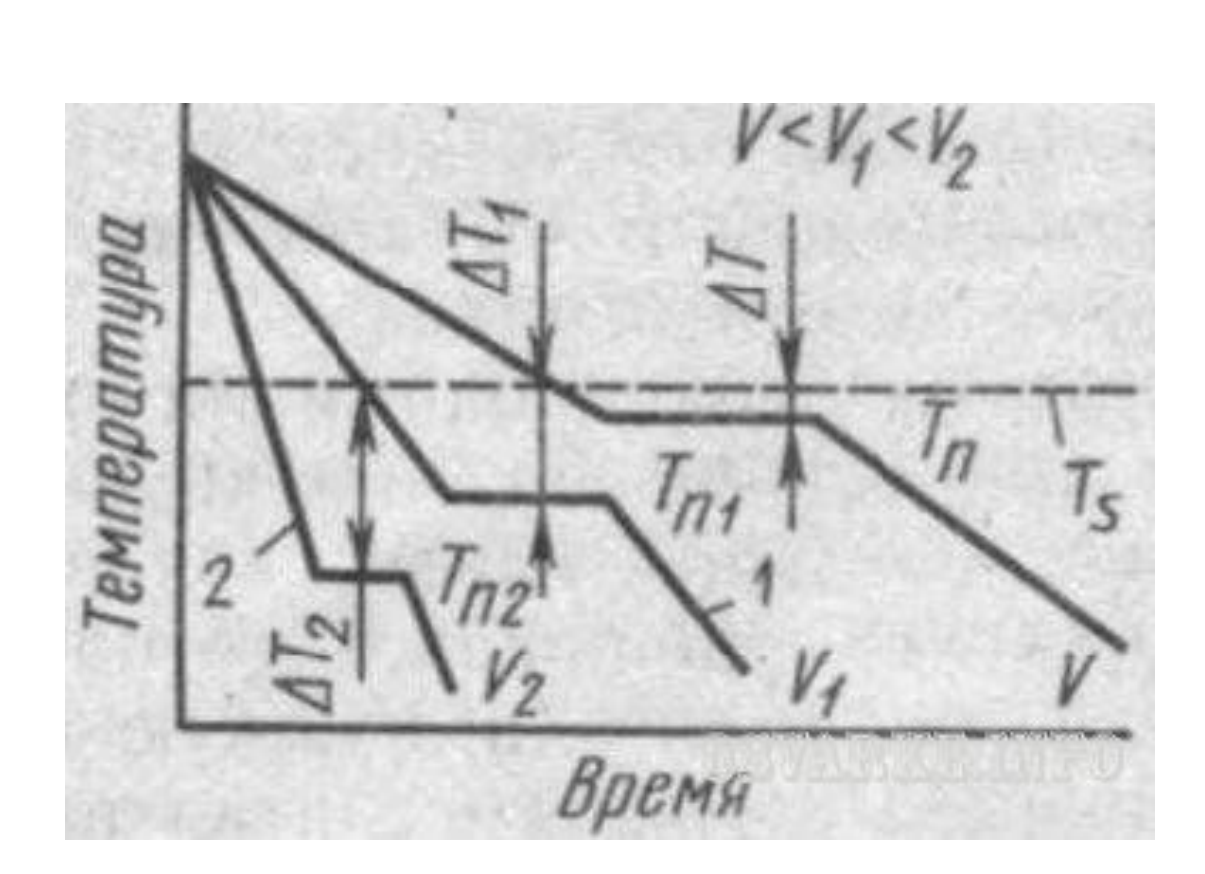


Рис. 2.20. Схема установки для термического анализа: I — печь; 2 — жидкий металл; 3 — тигель; 4 — горячий спай термопары; 5 — термопара; 6 — защитный колпачок; 7 — холодный спай термопары; 8 — гальванометр



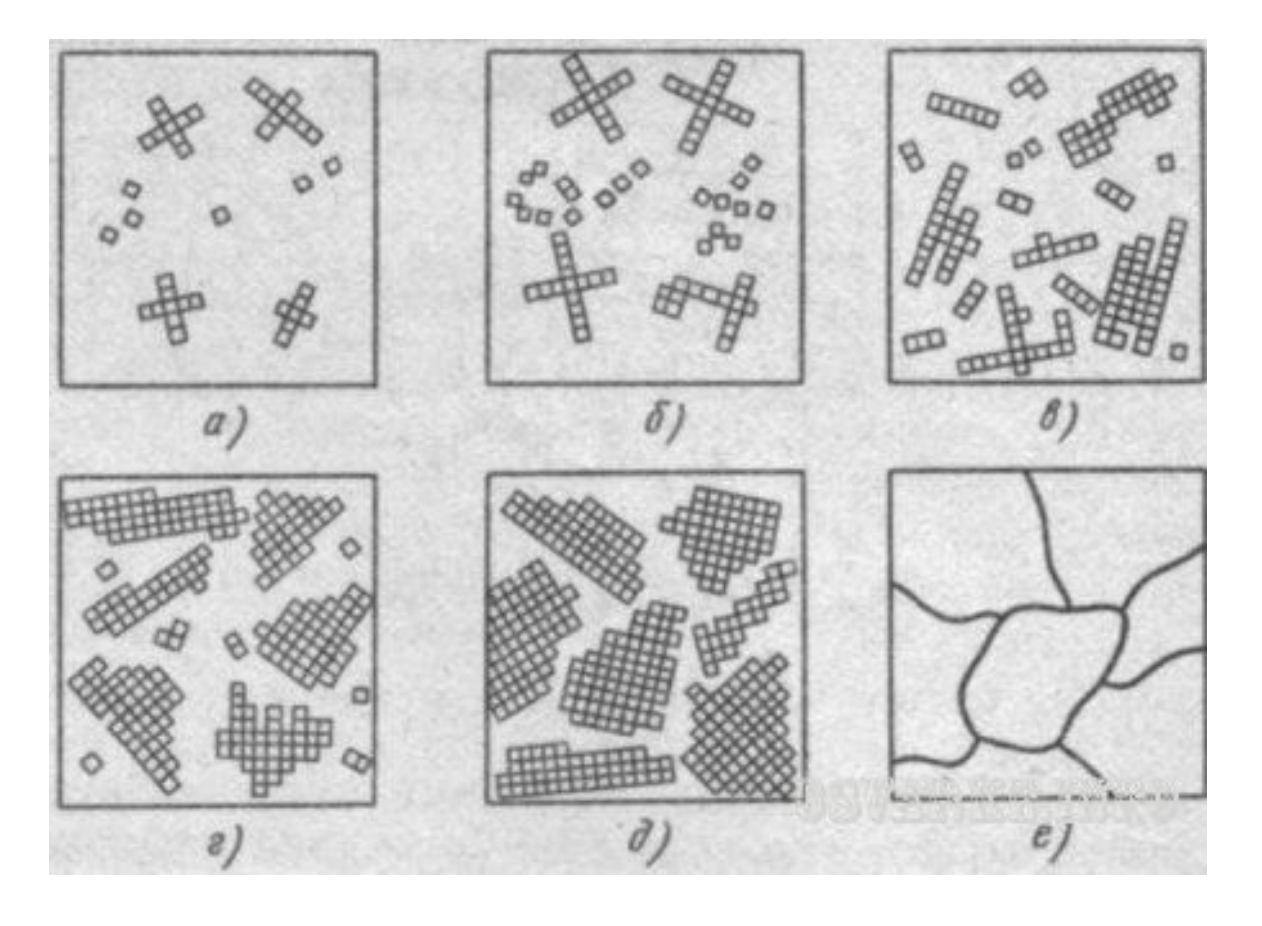
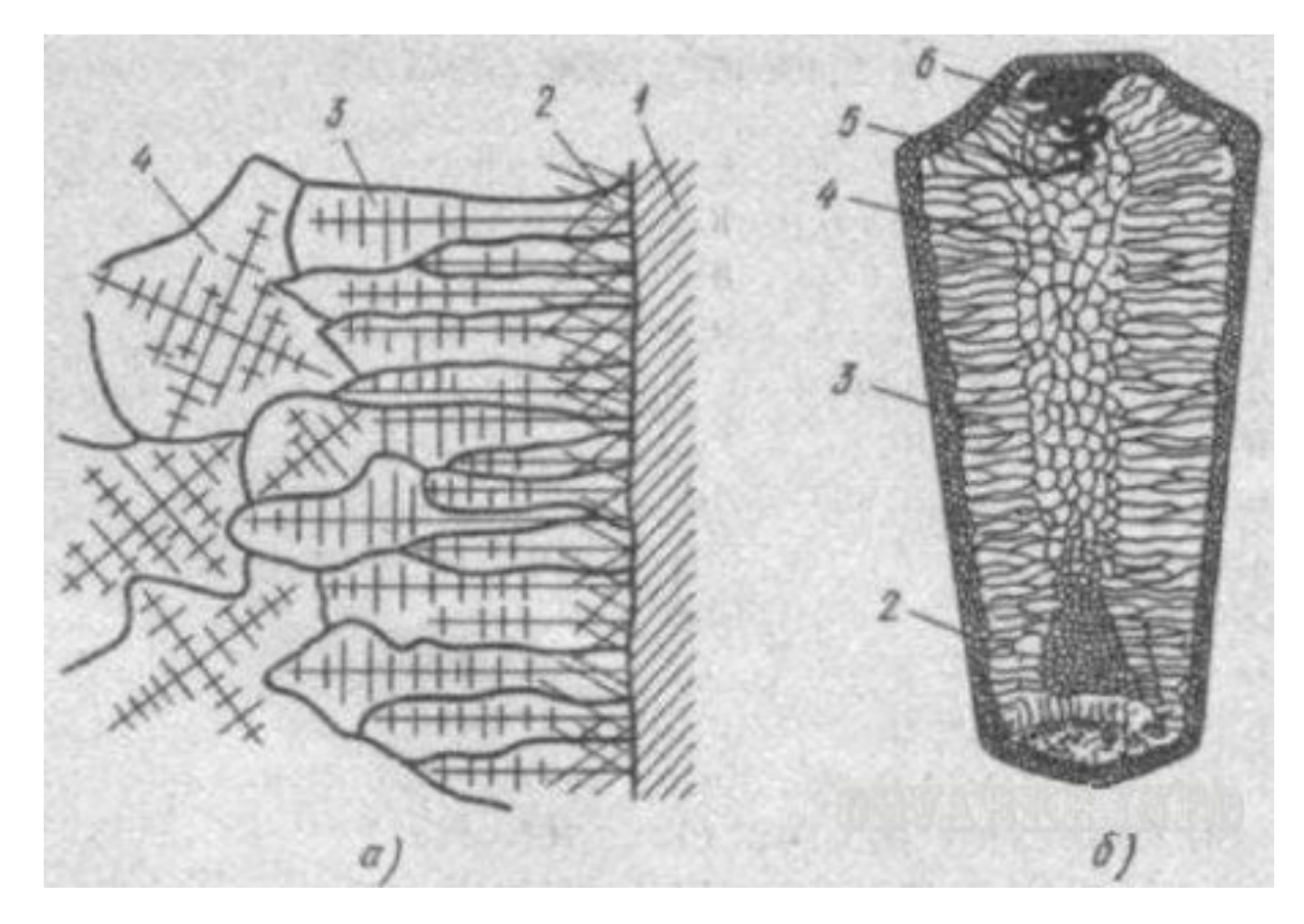


Рис. Последовательные этапы процесса кристаллизации металла



#### Схема строения стального слитка:

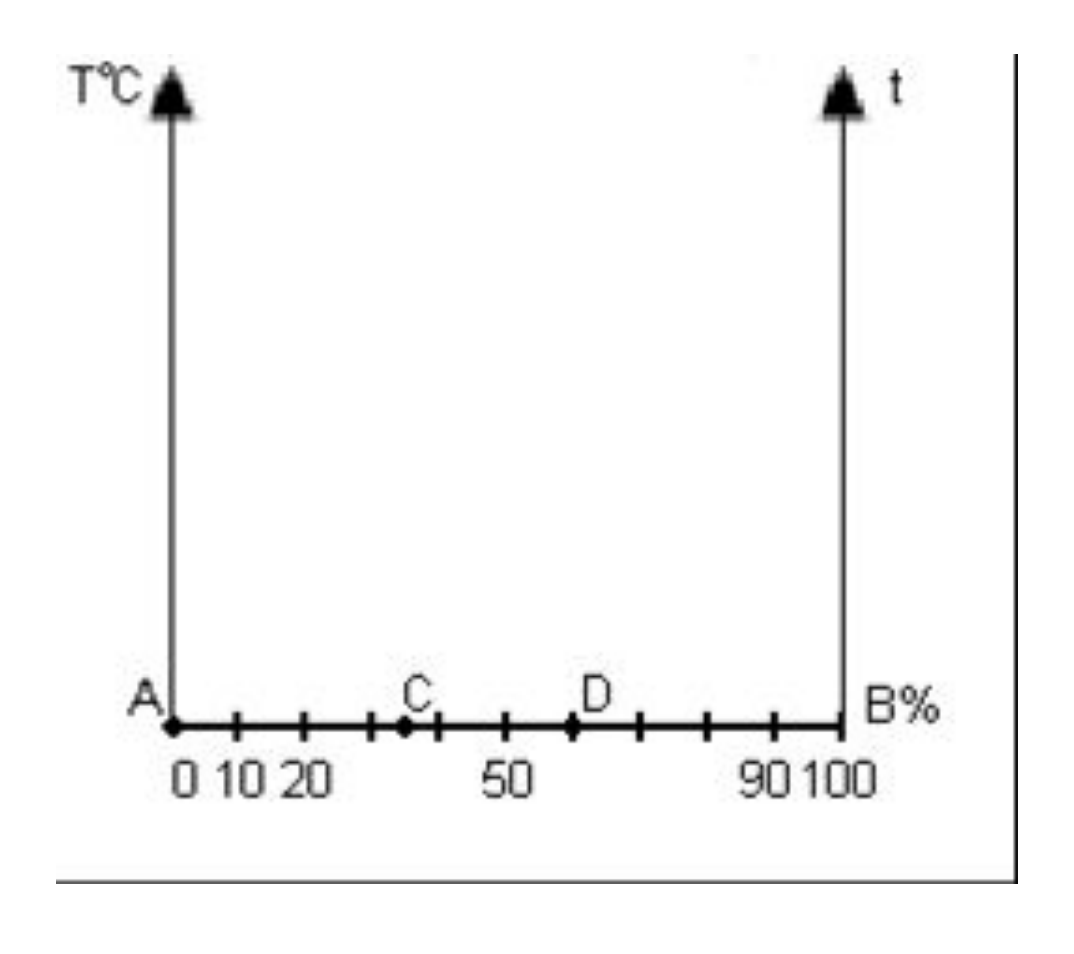
а - расположение дендритов в наружных частях слитка, б - строение слитка; 1- стенки изложницы. 2 – мелкие равноосные кристаллы, 3 - древовидные кристаллы, 4 - равноосные неориентированные кристаллы больших размеров, 5 - усадочная рыхлость, 6 - усадочная раковина

### Диаграмма состояния.

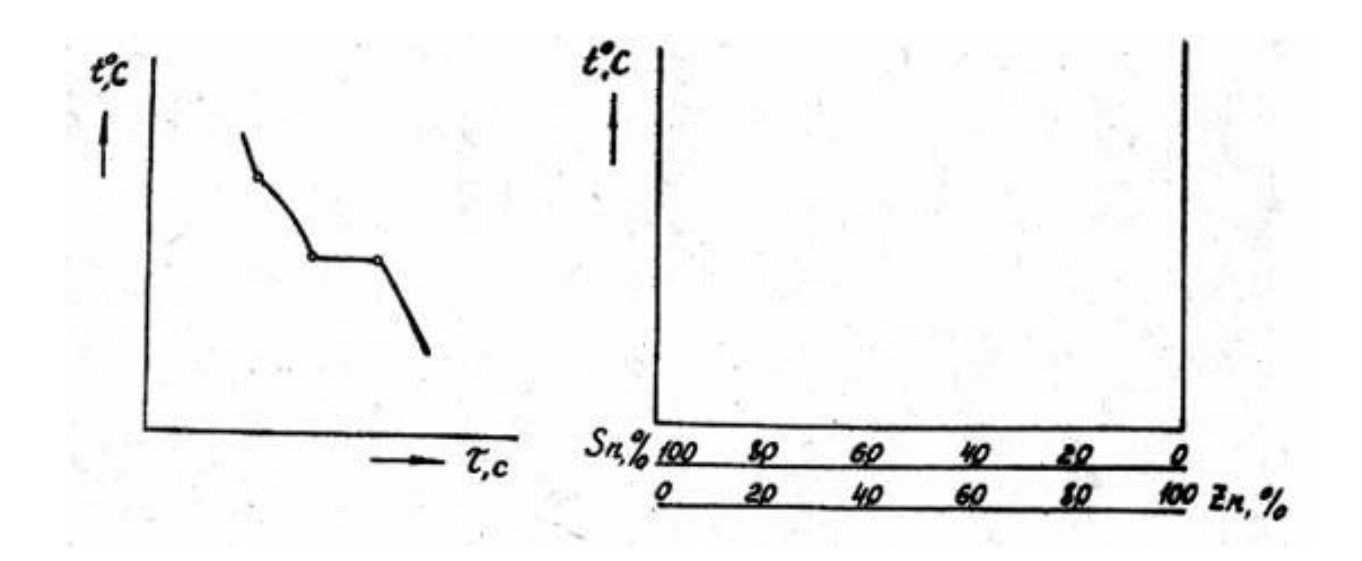
Диаграмма состояния представляет собой графическое изображение состояния любого сплава изучаемой системы в зависимости от концентрации и температуры

Диаграммы состояния показывают устойчивые состояния, т.е. состояния, которые при данных условиях обладают минимумом свободной энергии, и поэтому ее также называют диаграммой равновесия, так как она показывает, какие при данных условиях существуют **Баннанание фавто**яния можно определить температуры фазовых превращений, изменение фазового состава, приблизительно, свойства сплава, виды обработки, которые можно применять для сплава.

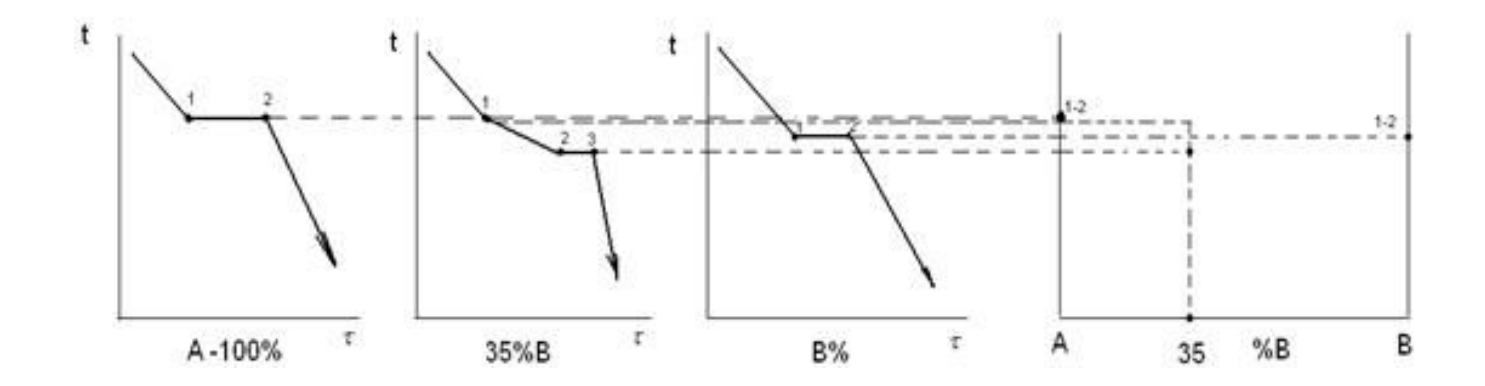
### Построение диаграмм состояния двойных сплавов



### Построение диаграмм состояния двойных сплавов



# Построение диаграмм состояния двойных сплавов



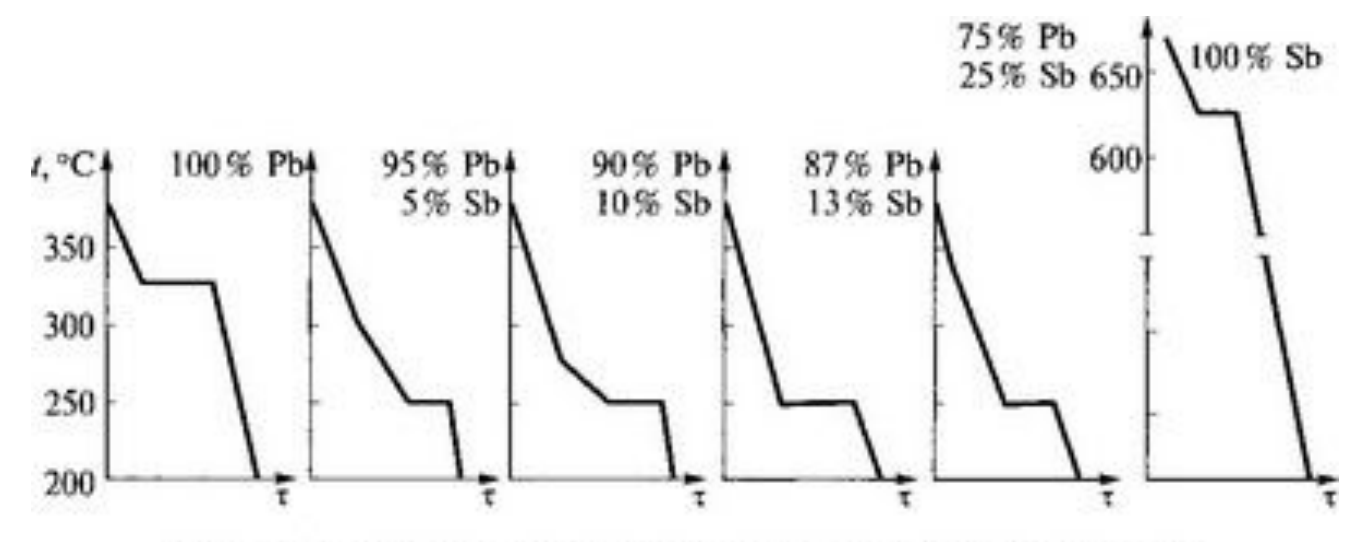
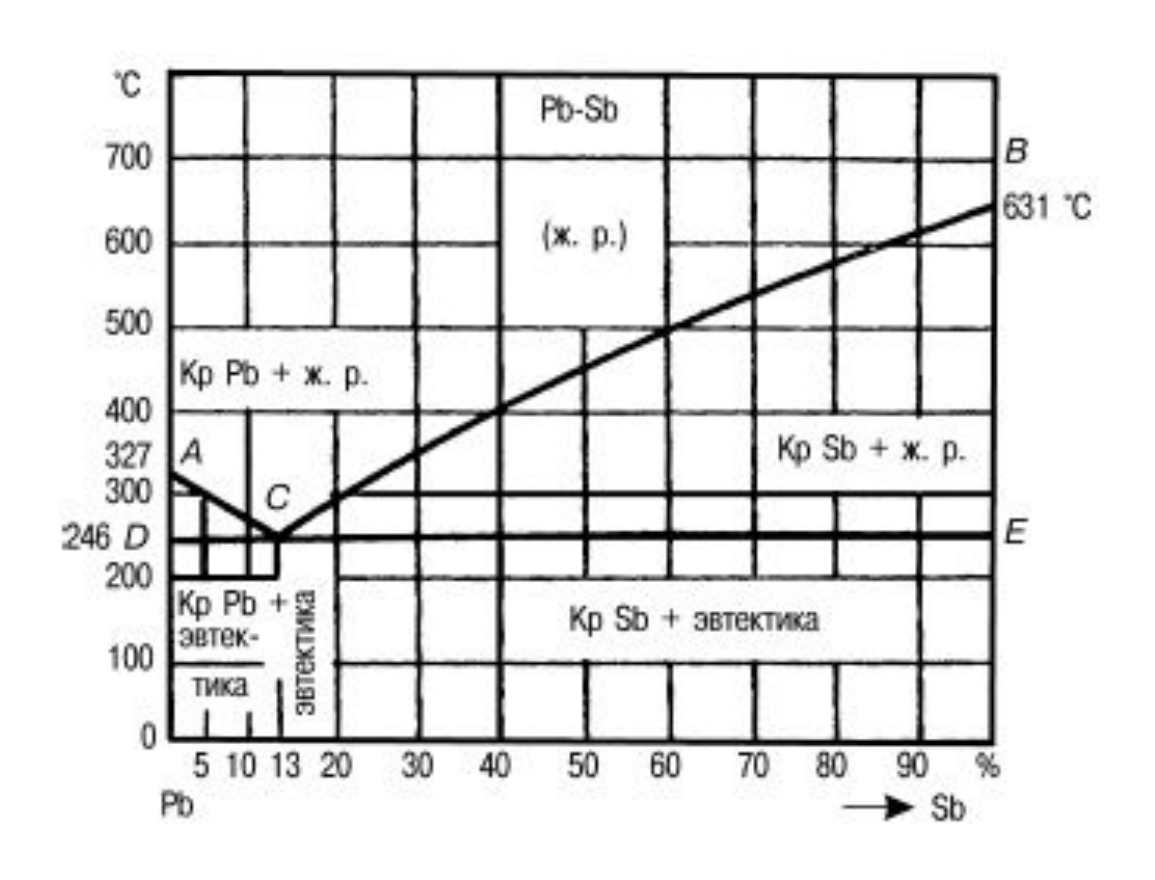


Рис. 2.21. Кривые охлаждения сплавов системы Pb - Sb

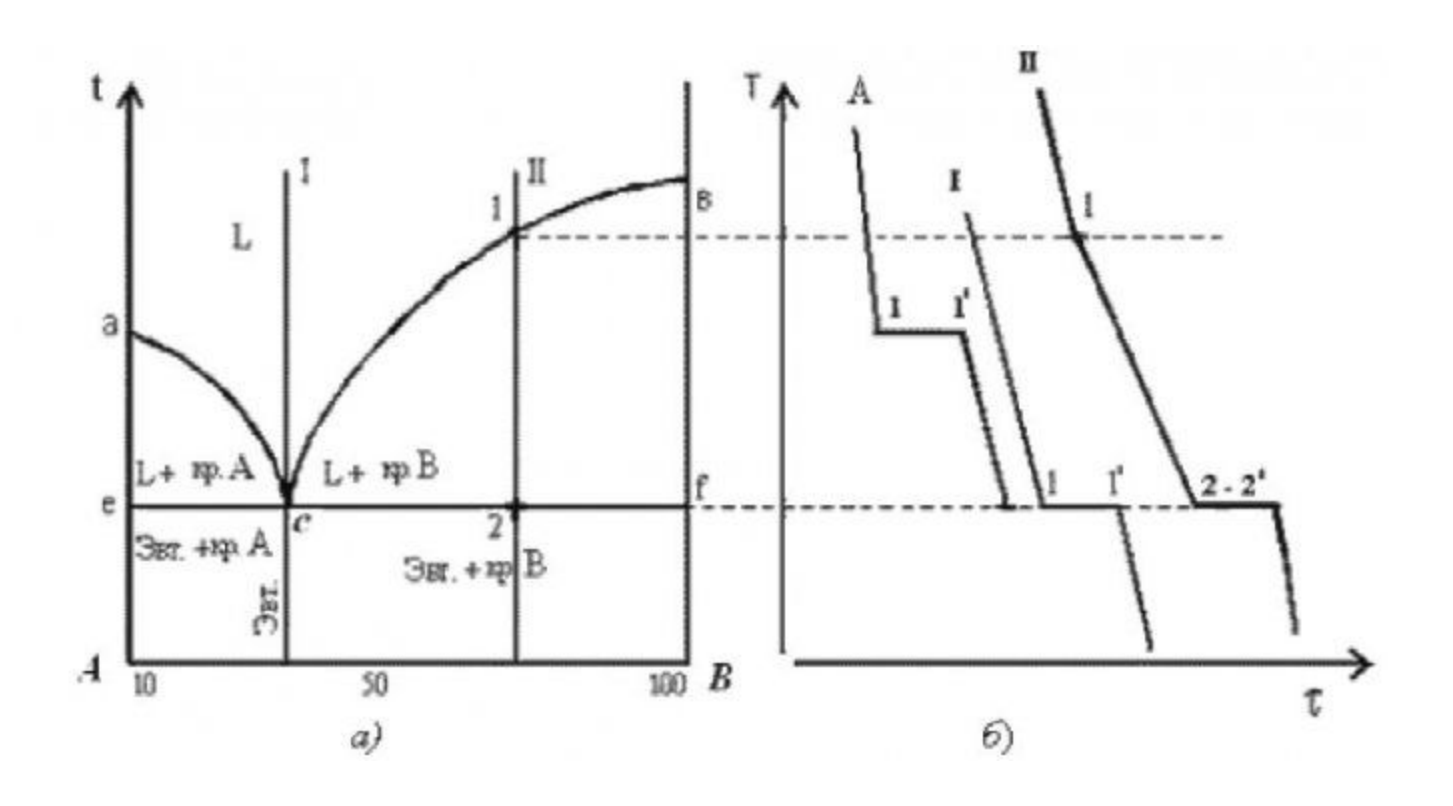
### Диаграмма состояния сплавов, образующих механические смеси из чистых компонентов



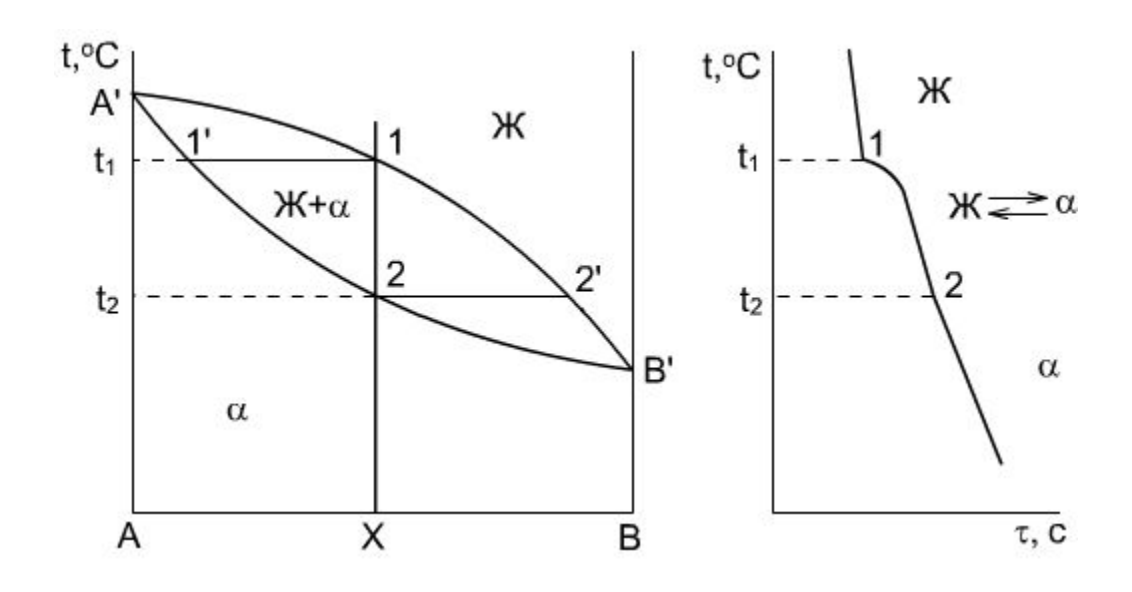
# Диаграмма состояния и кривые охлаждения для системы свинец -сурьма



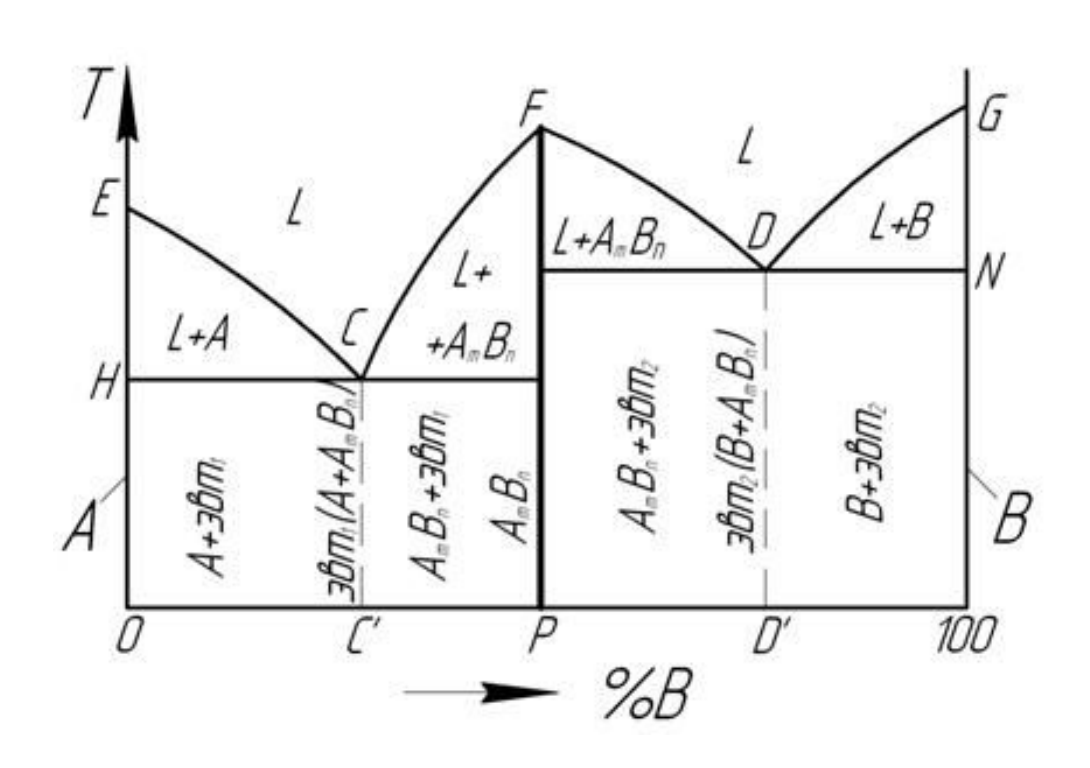
# Диаграмма состояния и кривые охлаждения сплавов образующих механические смеси из чистых компонентов



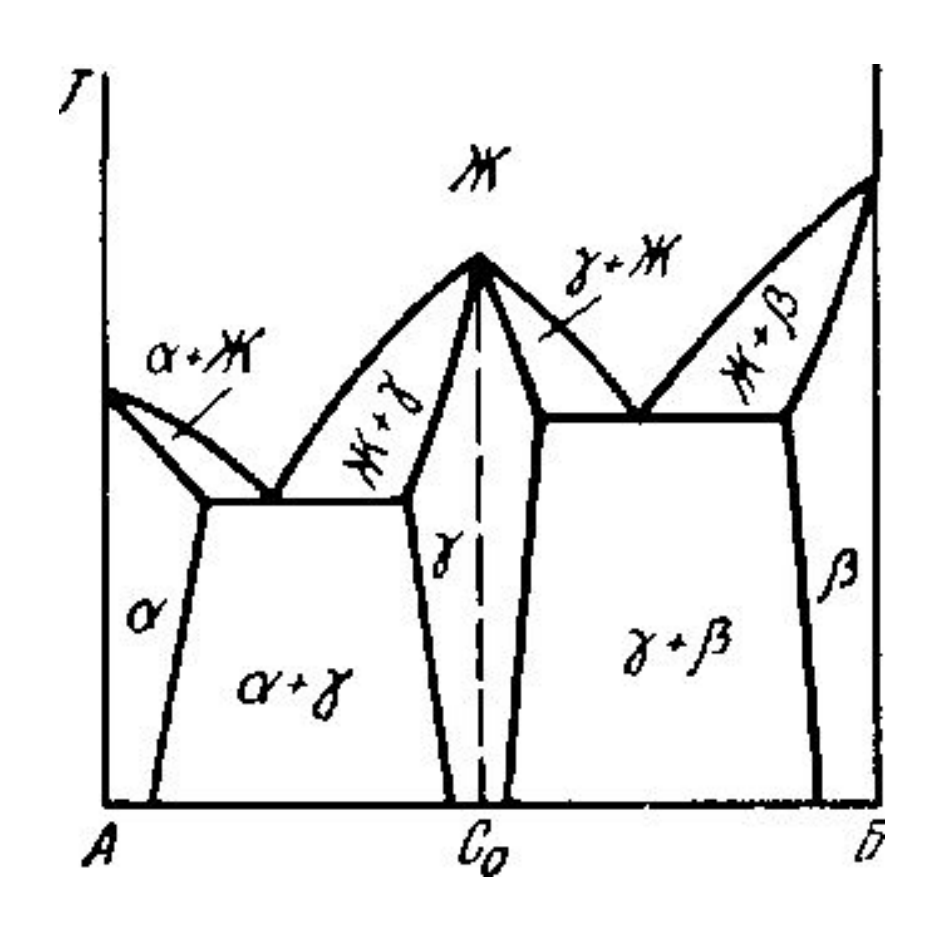
# Диаграмма состояния сплавов с неограниченной растворимостью компонентов в твердом состоянии



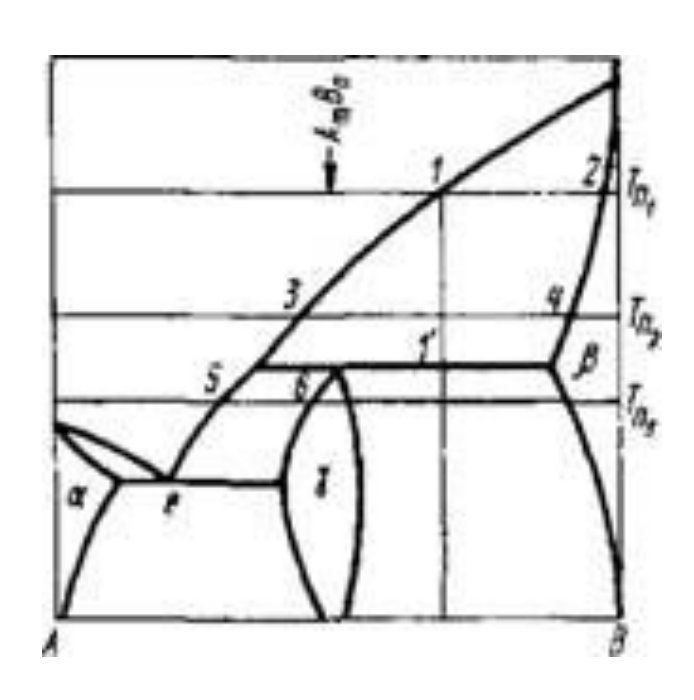
# Диаграмма состояния с устойчивым химическим соединением



# Диаграмма состояния с химическим соединением



# Диаграмма состояния сплавов с перетектикой

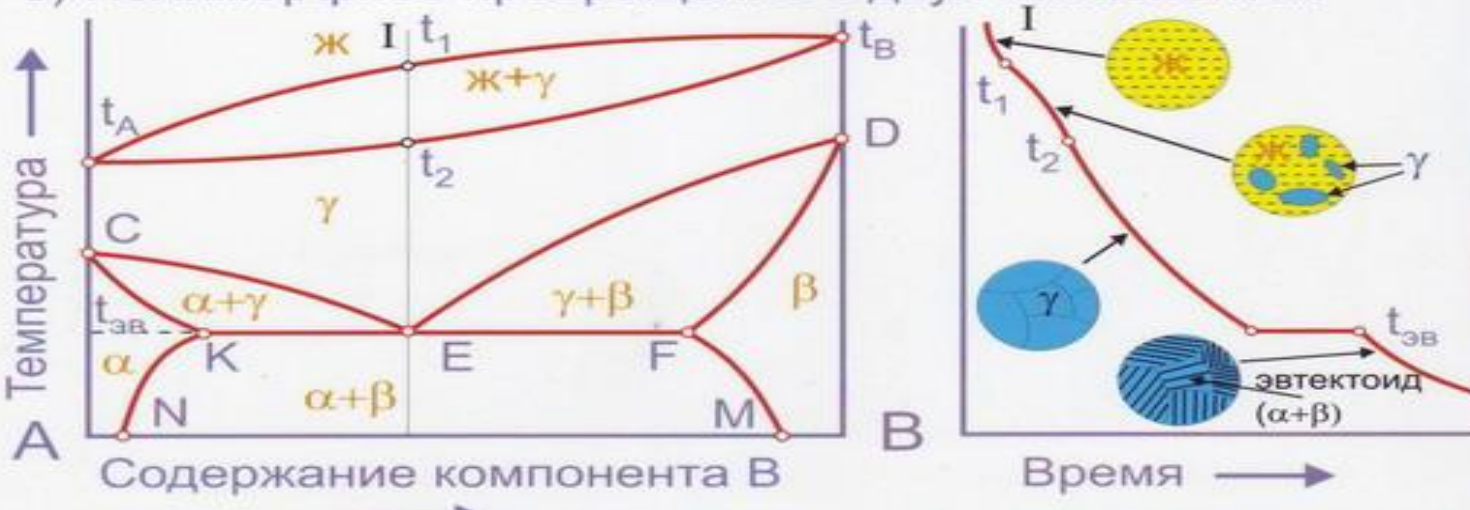


#### Диаграммы состояний сплавов, компоненты которых имеют полиморфные превращения

а) Полиморфное превращение в одном компоненте



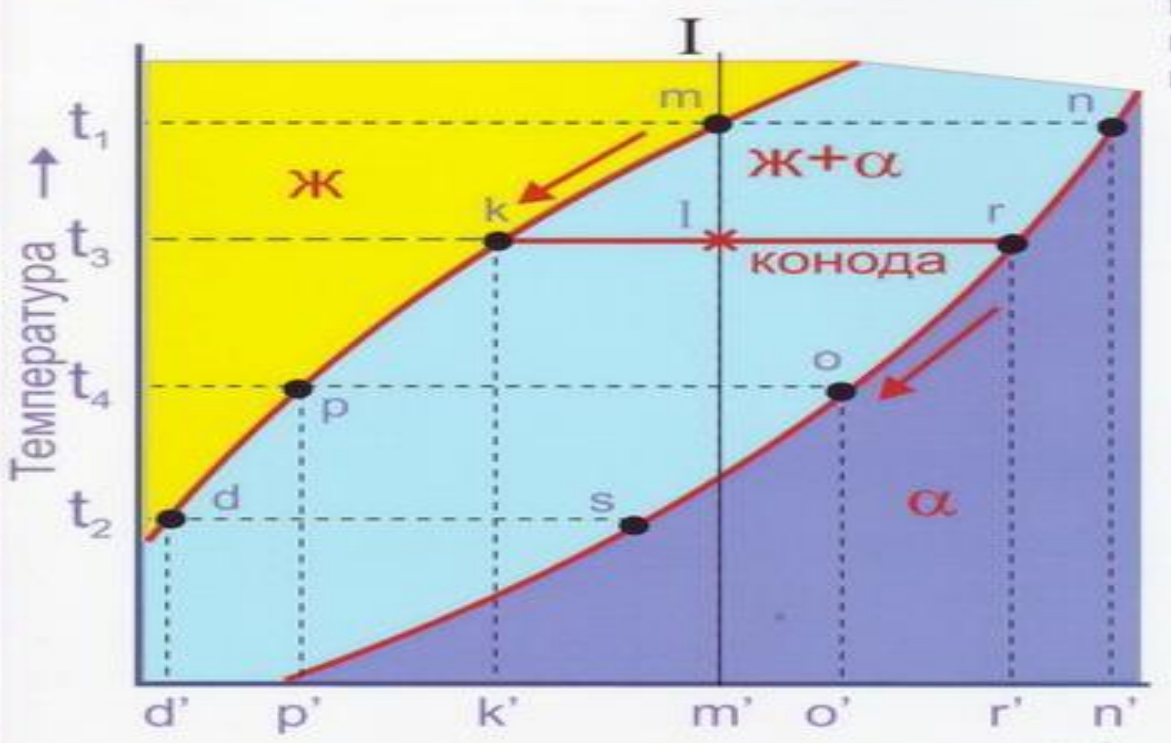
б) Полиморфное превращение в двух компонентах



#### Правила концентраций и отрезков

**Правило концентраций** устанавливает концентрации фаз при заданной температуре. Через фигуративную точку проводят коноду. Проекция точки пересечения коноды с линией ликвидус на ось концентраций определяет состав жидкой фазы. Проекция точки пересечения коноды с линией солидус на ось концентраций определяет состав твердой фазы. Для  $t_{\rm o}$  - состав жидкой фазы соответствует точке k', а твердой r'.

**Правило отрезков -** устанавливает количественное соотношение фаз при заданной температуре. Фигуративная точка делит коноду



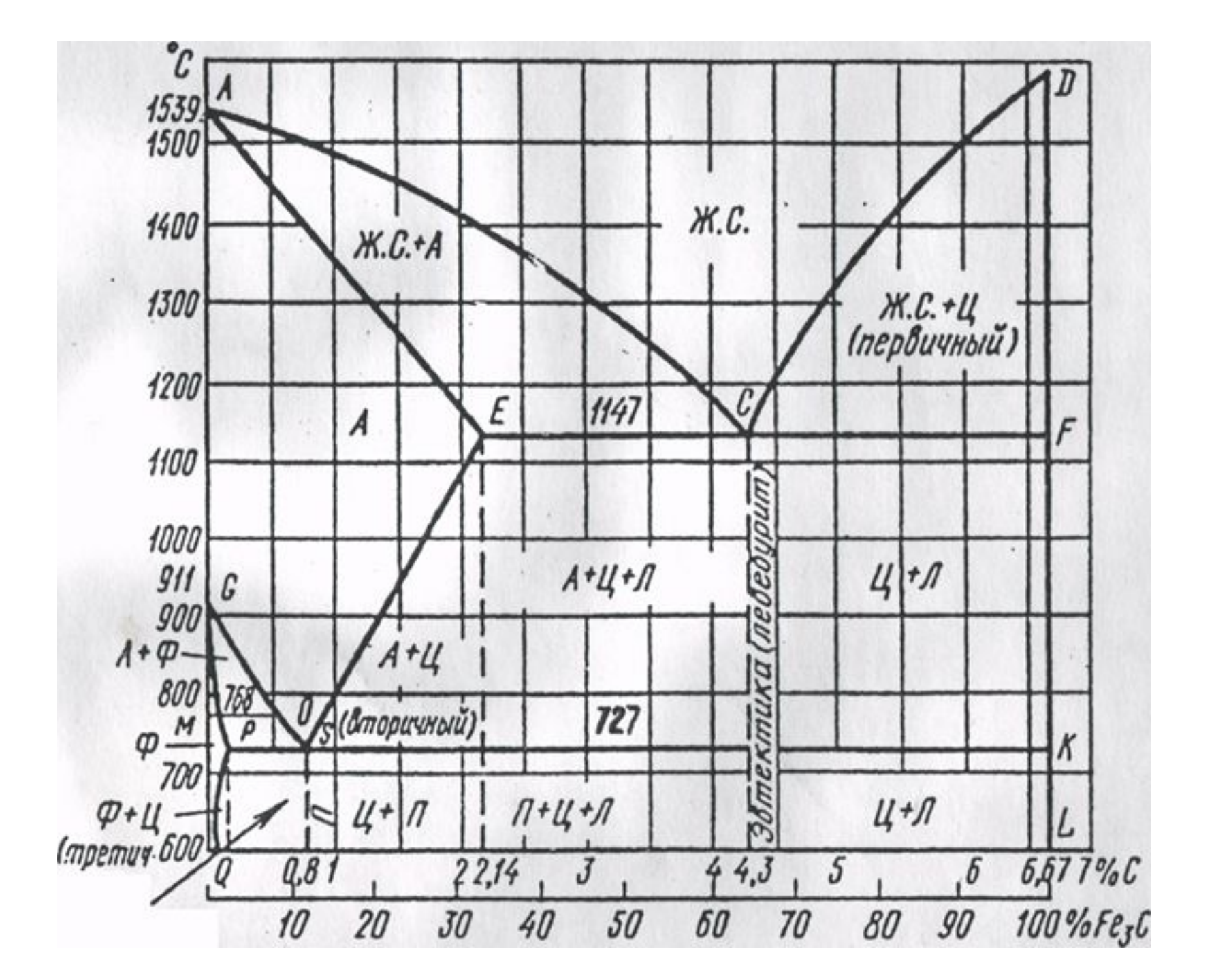
на отрезки, пропорциональные количеству фаз.

При температуре t<sub>3</sub>: количество жидкой фазы

$$Q_{*} = \frac{Ir}{kr} 100\%$$

При температуре t<sub>3</sub>: количество твердой фазы

$$Q_a = \frac{kl}{kr} 100\%$$



#### Конструкционные стали

Конструкционными называются стали, предназначенные для изготовления деталей машин механизмов и конструкций. Они должны обладать высокой конструктивной прочностью, под которой понимают комплекс механических свойств, обеспечивающих надежную работу материала в условиях эксплуатации.

По химическому составу конструкционные стали подразделяются на:

углеродистые

легированные

низколегированные (содержат не более 2,5% легирующих элементов)

среднелегированные (содержат от 2,5 до 10%

легирующих элементов)

еысоколегированные (содержат более 10% легирующих элементов)

По назначению конструкционные стали подразделяются на: - строительные,

- машиностроительные,
- стали с особыми свойствами.

К группе машиностроительных относятся <u>улучшаемые</u> легированные стали, <u>цементуемые</u> легированные стали, <u>подшипниковые</u> стали. <u>пружинные</u> стали и др.

Группу сталей с особыми свойствами составляют коррозионностойкие, жаростойкие, жаропрочные стали и др.

#### Углеродистые конструкционные стали.

#### Они делятся на два класса:

- стали обыкновенного качества;
- качественные стали.

#### 1. Углеродистые стали обыкновенного качества

Их маркируют буквами **Ст** и цифрами 0,1,2,3,4,5 и 6, определяющими их химический состав.

марка	Ст 0	Ст 1	Ст 2	Ст 3	Ст 4	Ст 5	Ст 6
	не более 0.23	0.06-0.12	0.09-0.15	0.09-0.15	0.14-0.22	0.28-0.37	0.38-0.49
$\sigma_{\!\scriptscriptstyle B}$ ,МПа	не менее 310	320-340	340-440	380-490	420-540	500-640	600-670
δ .% не менее	20	31	29	23	21	17	12

В зависимости от условий раскисления различают стали: спокойные "сп", полуспокойные "пс" и кипящие "кп".

Например: Ст 2сп, Ст 2пс, Ст 2кп.

Концентрация марганца в сталях - 0.25 - 0.80 %.

Концентрация кремния в кипящих, полуспокойной и спокойной сталях не более 0.05 %, 0.05 - 0.15 % и 0.15 - 0.30 %, соответственно.

Допустимое содержание фосфора и серы - 0.04 и 0.05 %, соответственно.

В некоторых сталях допускается повышенное содержание марганца до 1,1 - 1,2 %. Тогда в маркировку добавляется буква Г. Например: Ст 3Гсп.

#### Углеродистые конструкционные стали.

#### 2. Углеродистые качественные стали

По содержанию углерода они подразделяются на низкоуглеродистые (менее 0.25% C) среднеуглеродистые ( 0.3 - 0.5% C) высокоуглеродистые (0.6 - 0.8% C)

Стали содержат 0.35 - 0.80% Mn, 0.17- 0.37% Si. Содержание примесей S < 0.04% и P < 0.035%.

Маркировка: стали маркируют двумя цифрами, указывающими среднее содержание углерода в сотых долях процента.

#### Состав стали и их свойства после нормализации.

марка стали	08	10	20	30	40	50	60	70
содержание С.%	0.05-0.12	0.07-0.14	0.17-0.24	0.27-0.35	0.37-0.45	0.47-0.55	0.57-0.65	0.67-0.75
$\sigma_{\tau}$ ,мпа	200	210	250	300	340	380	410	430
$\sigma_{\rm B}$ , МПа	330	340	420	500	580	640	690	730
8,%	33	31	25	21	19	14	12	9
少,%	60	55	55	50	45	40	35	30

#### Легированные конструкционные стали

Большинство легированных конструкционных сталей являются дозетектоидными. Основные легирующие элементы в этих сталях: хром (0.8-2.5%), кремний (0.4-1,2%), марганец (0,8-1,8%), никель (1,0-4,5%), молибден (0,15-0,4%), вольфрам (0,5-1,2), ванадий (0,06-0,3%), титан (0,03-0,09%), бор (0,002-0,005%). В зависимости от состава различают стали: - хромистые, -никелевые, - хромоникелевые и т.д. **Маркировка**: в начале марки указывают содержание углерода в сотых долях процента; далее следует обозначение легирующих элементов и их содержание. Легирующие элементы обозначаются: Х-хром, Г-марганец, C-кремний, H-никель, M-молибден, B-вольфрам, K-кобальт, Ф-ванадий, Б-ниобий, T-титан, Ю-алюминий, Д-медь, P-бор. Буква А в середине маркировки указывает на содержание в стали азота, как легирующего элемента. Буква 🗚 в конце марки означает, что сталь высококачественная (S и P<0,025%). Цифры после букв указывают содержание легирующего элемента, с округлением до целого числа. При содержании элемента до 1,5% цифра не ставится.

Например: сталь 30XH3A содержит в среднем: 0,30% углерода,

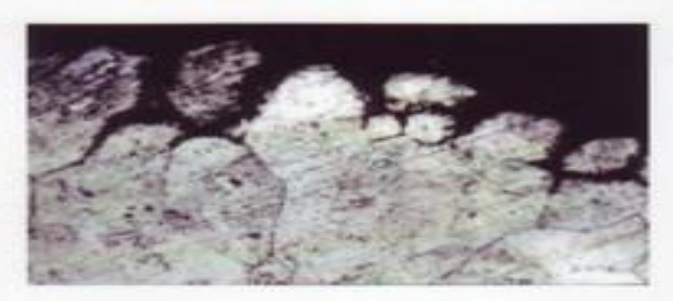
1,0% хрома, 3% никеля.

высококачественная.

#### Коррозионностойкие стали

Коррозионностойкими (нержавеющими) называют стали, которые способны сопротивляться коррозионному воздействию агрессивной среды. Различают химическую и электрохимическую коррозию.

Межкристаллитная коррозия аустенитных сталей.



Одним из видов электрохимической коррозии является межкристаллитная коррозия. Она распространяется по границам зерен от поверхности вглубь металла и резко снижает механические свойства.

Основной легирующий элемент коррозионностойких сталей - хром. При его содержании более 12 % возникает высокая устойчивость против коррозии. Коррозионностойкие стали подразделяются на хромистые и хромоникелевые.

#### Стали для режущего инструмента Быстрорежущие стали

Высокая твердость этих сталей сохраняется при нагреве до 600-640°С. Инструмент из этих сталей работает с высокими скоростями резания.

Маркировка: Марка стали начинается с буквы **P**, за которой следует число, обозначающее содержание вольфрама.

Марка стали	Содержание,%						
	С	W	Mo	Cr	V		
P18 P9 P6M5	0,7-0,8 0,85-0,95 0,82-0,90	17-19 8,5-10,5 5,5-6,5	0,5-1,0 до 1,0 <mark>5,0-5,5</mark>	3,8-4,4 3,8-4,4 3,8-4,4	1,0-1,4 2,0-2,6 1,7-2,1		

#### Структура стали Р18

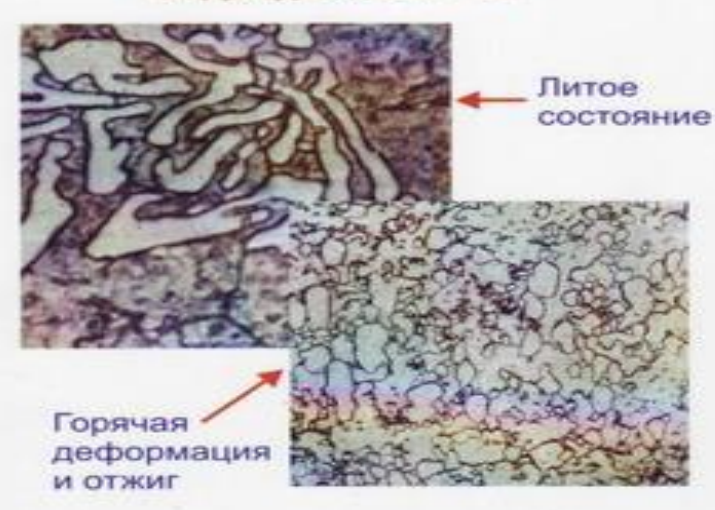
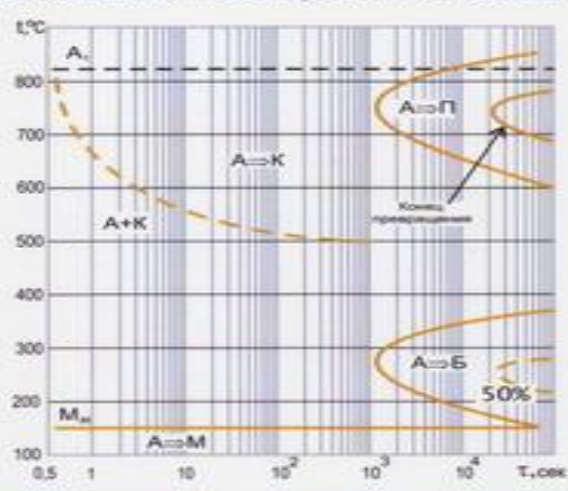


Диаграмма изотермического распада переохлажденного аустенита стали P6M5



## Жаростойкие стали

Под жаростойкими (окалиностойкими) понимают стали, устойчивые к газовой коррозии при высоких температурах.

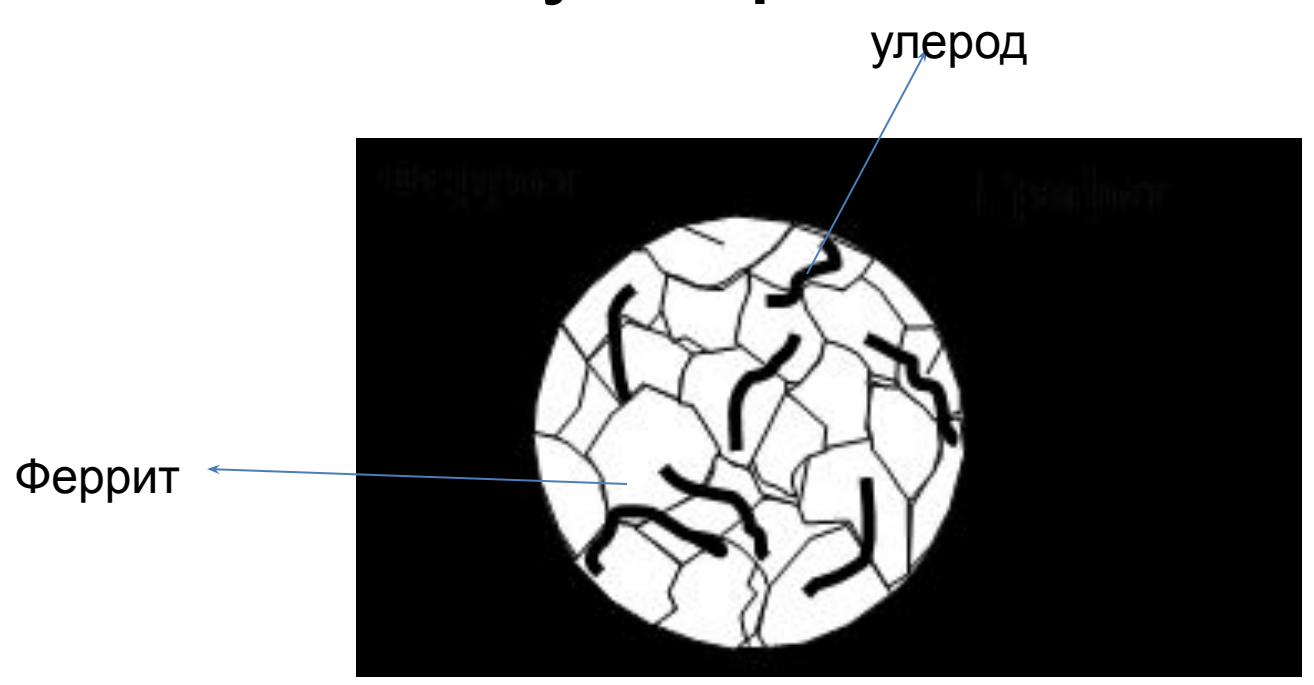
Основные легирующие элементы, повышающие жаростойкость - *хром, кремний и алюминий*. Хром и алюминий образуют защитные пленки из  $Cr_2O_3$ ,  $Al_2O_3$ ,  $FeO\cdot Cr_2O_3$ ,  $FeO\cdot Al_2O_3$ , а кремний - из  $2FeO\cdot SiO_2$ .

Различают две основных группы сталей:

- 1. Высокохромистые стали, имеющие ферритную структуру: 08X17T, 15X25T, 15X28, 05X25Ю5 и др. Термическая обработка: нормализация с нагревом до 760 800°C.
- 2. Хромоникелевые стали с аустенитной структурой: 08X18H9T, 20X23H18, 20X25H20C2 и др.

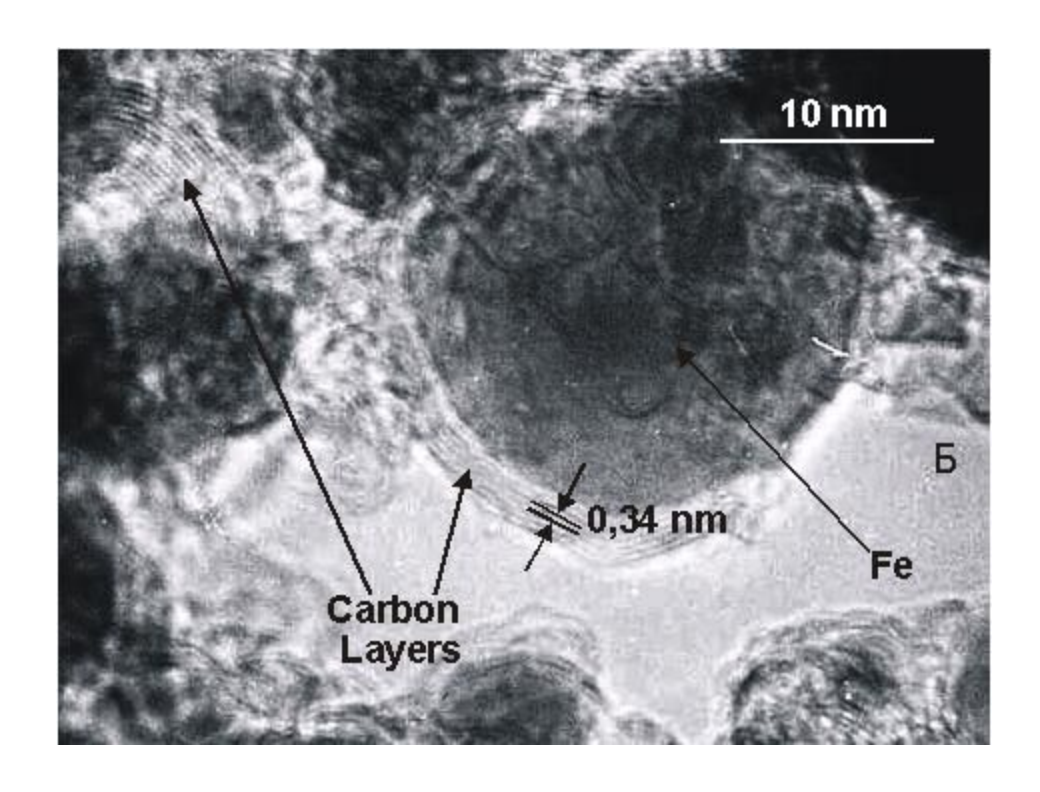
Термическая обработка: закалка от 1100 - 1150°C с охлаждением в воде, масле или на воздухе.

## Микроструктура сплава железоуглерод

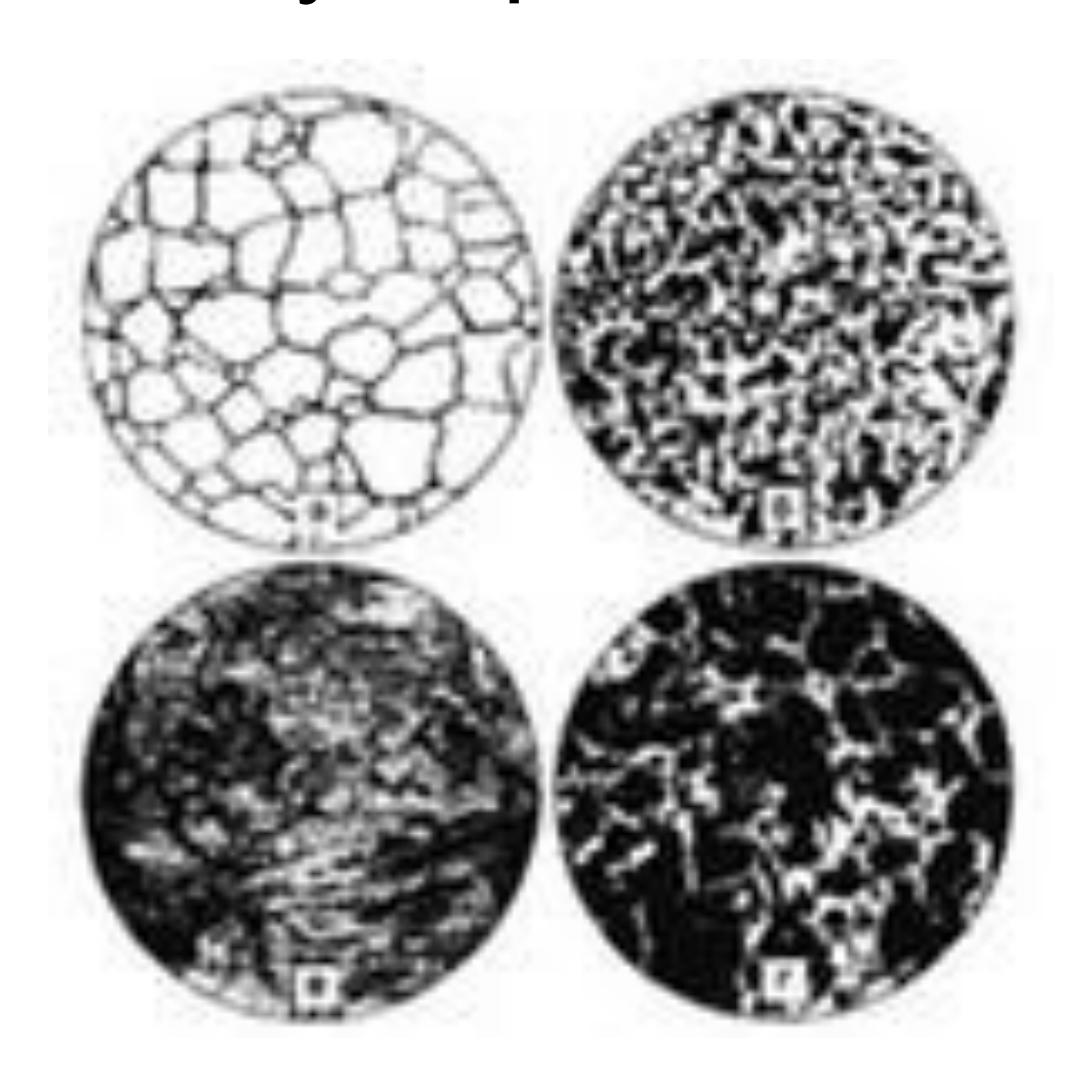


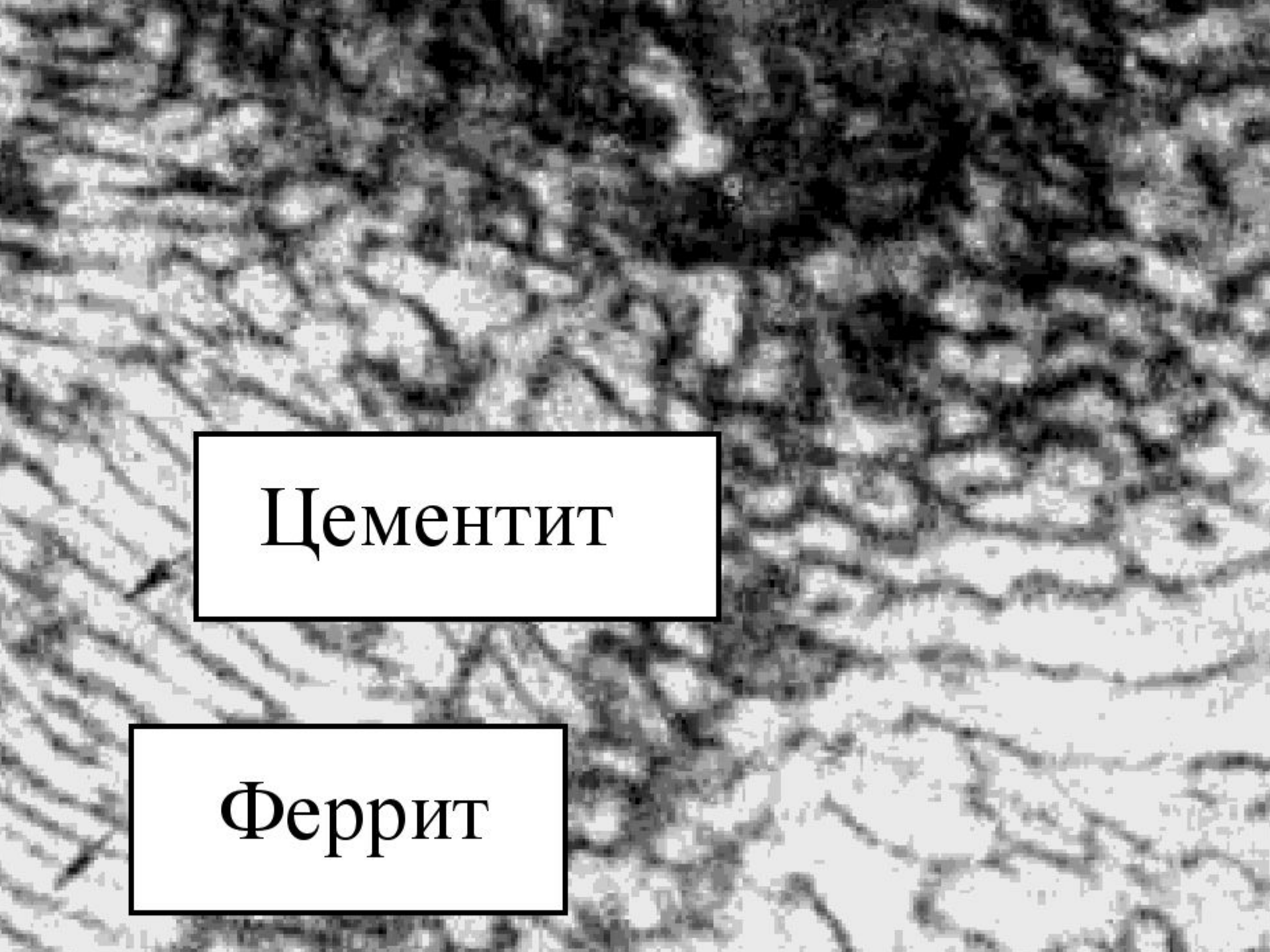


## Наночастицы железа капсулированные в углерод

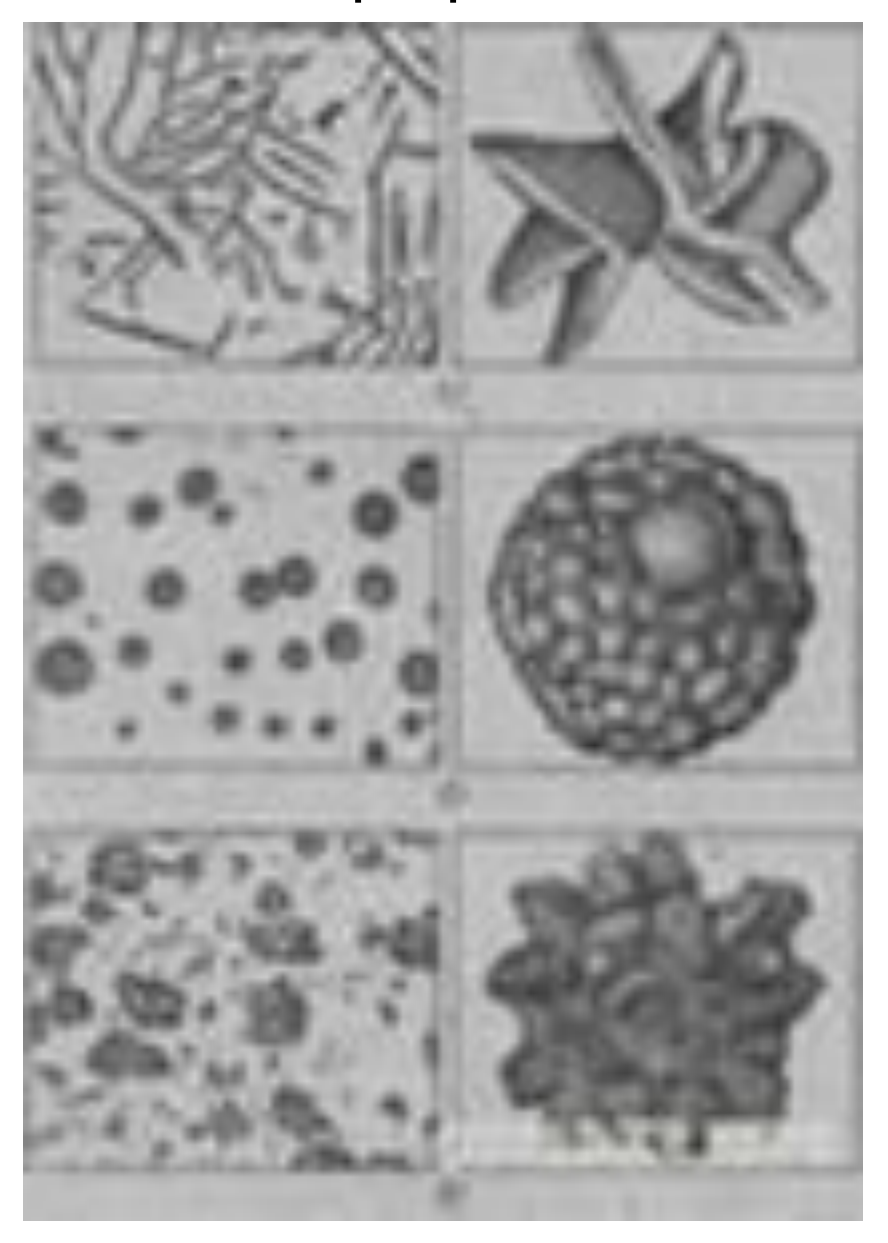


# **Микроструктура сталей** с различным содержанием углерода.





## Микроструктура чугунов с различной формой графита



## Микроструктура чугунов



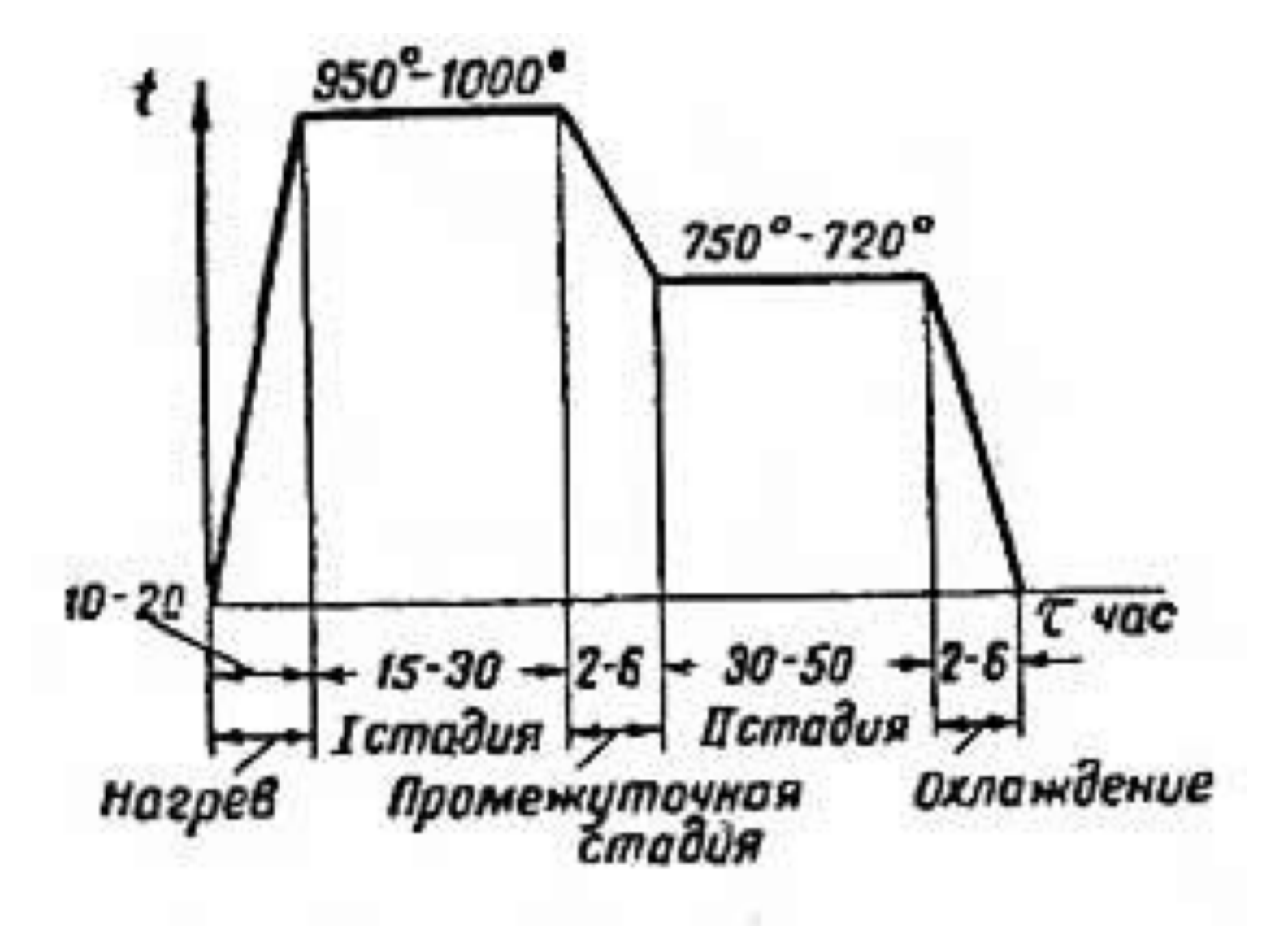
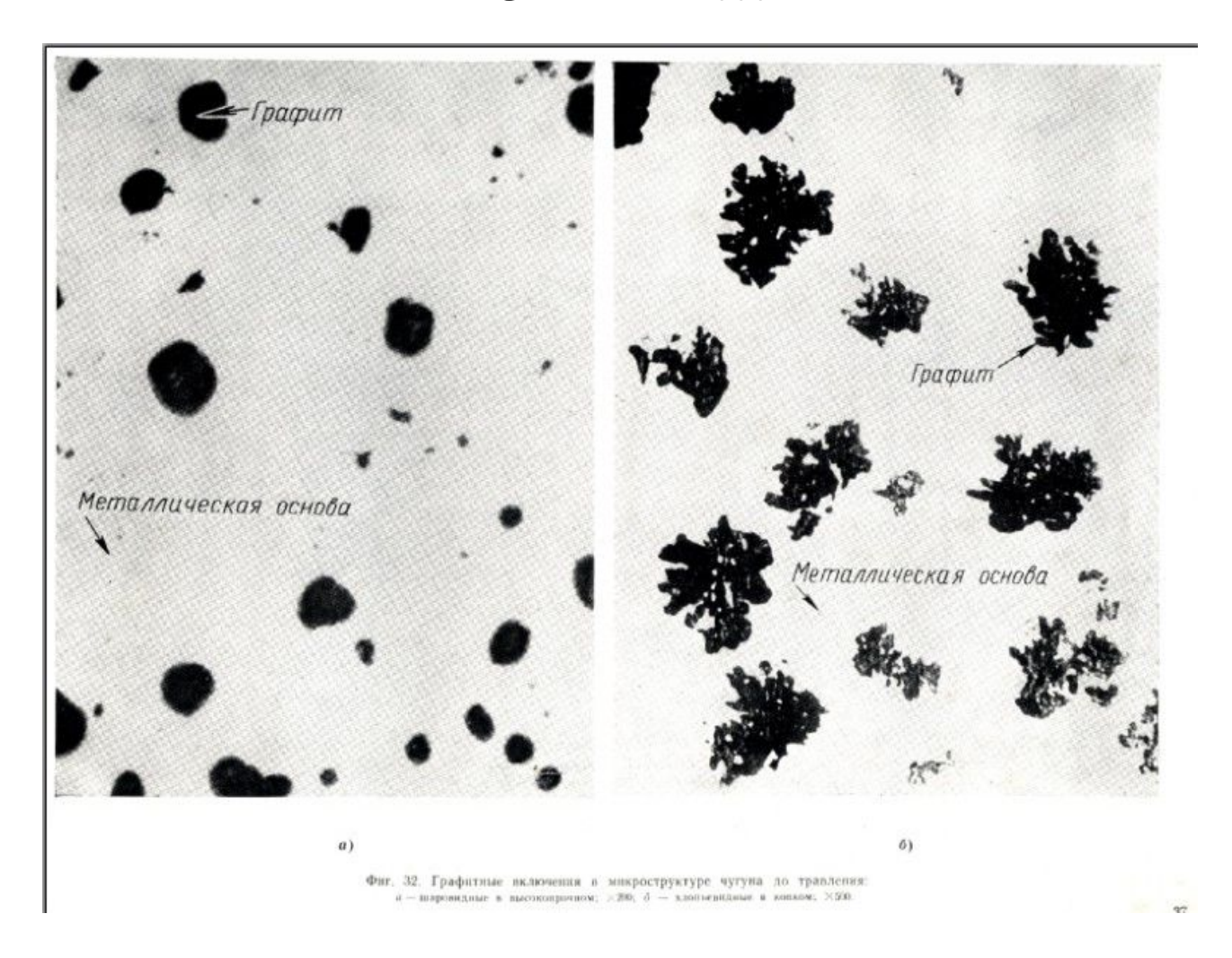


Рис. 76. Режимы отжига ковкого чугуна

## Микроструктура **белого чугуна**, из которого путем **отжига** получается **ковкий**...



## микроструктуры серых чугунов

Виды включений графита (Нетравленые шлифы)



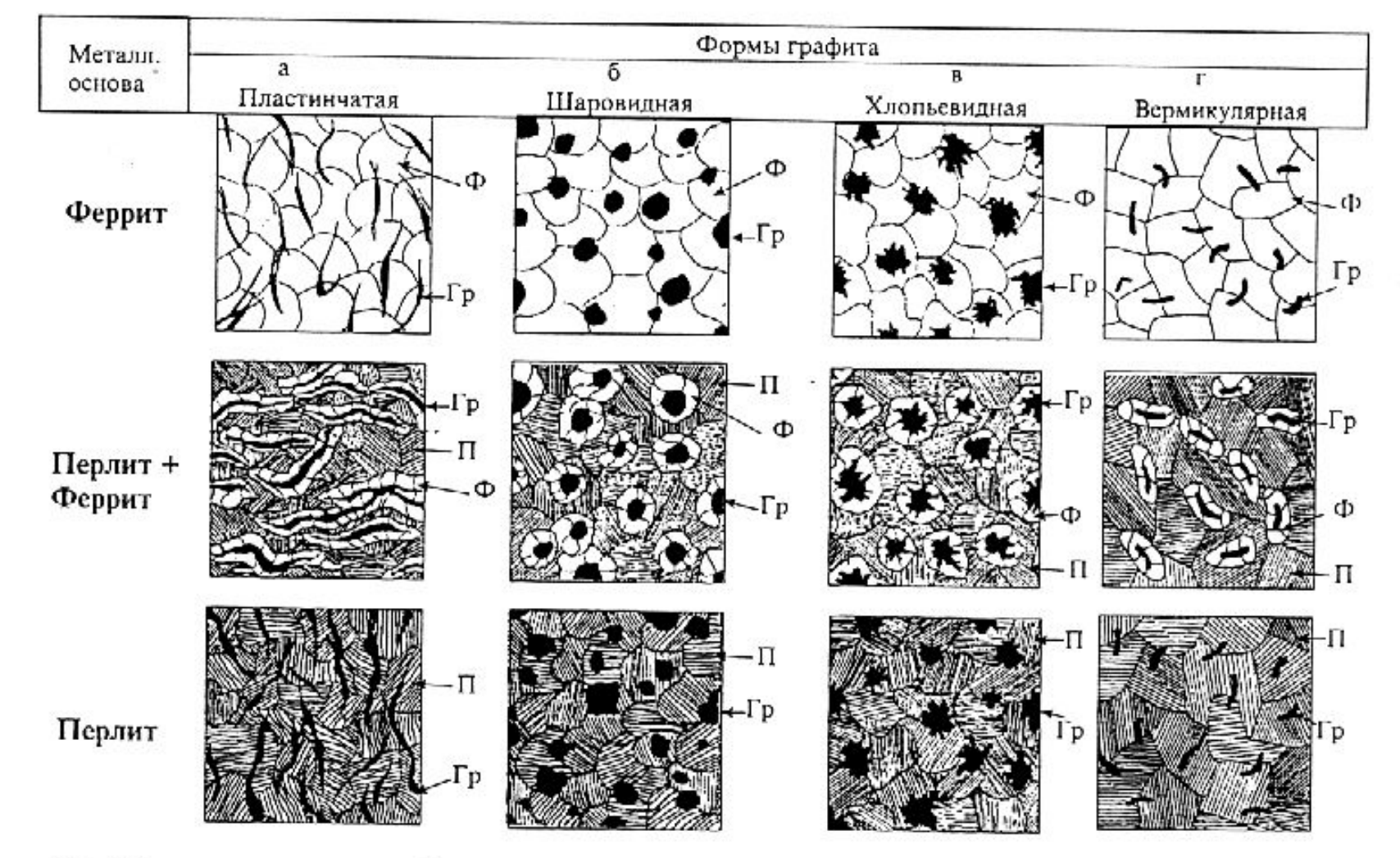


Рис.3 Схема микроструктур графитизированных чугунов: а) серые; б) высокопрочные; в) ковкие; г) с вермикулярным графитом.

## Микроструктура ковкого чугуна на ферритной основе

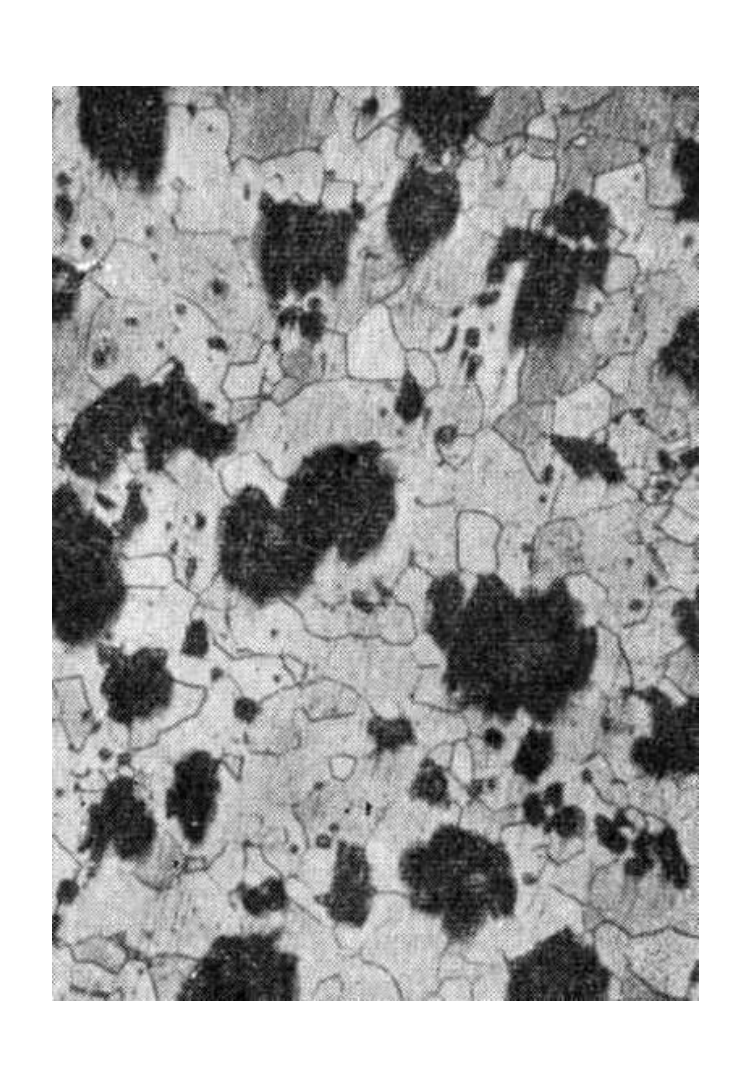
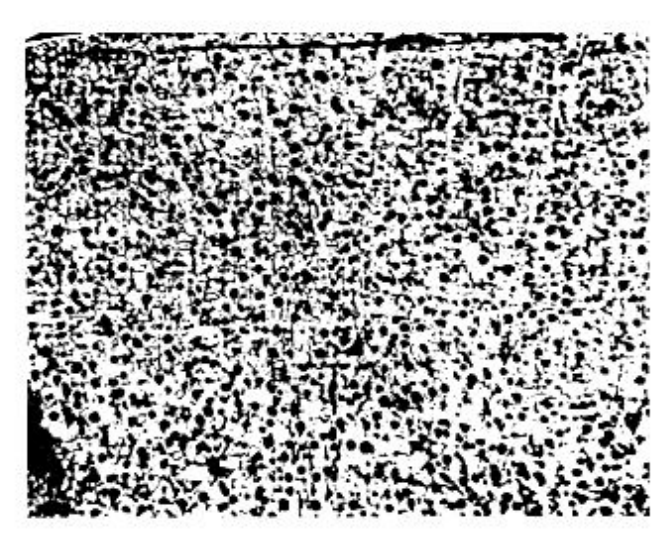


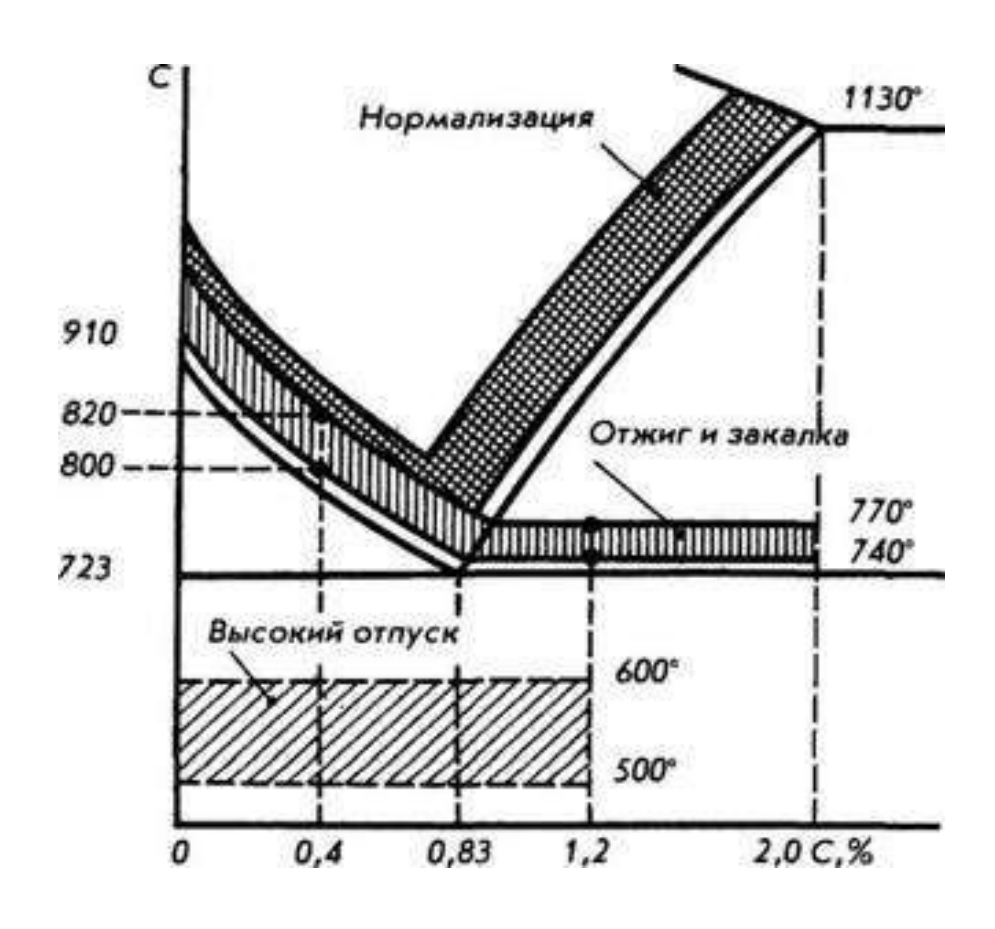


Рисунок 3.1 - Примерная структура серого чугуна при увеличении шлифа в 100 раз



Примерная структура чугуна с шаровидным графитом

## Термическая обработка стали



## Термическая обработка стали

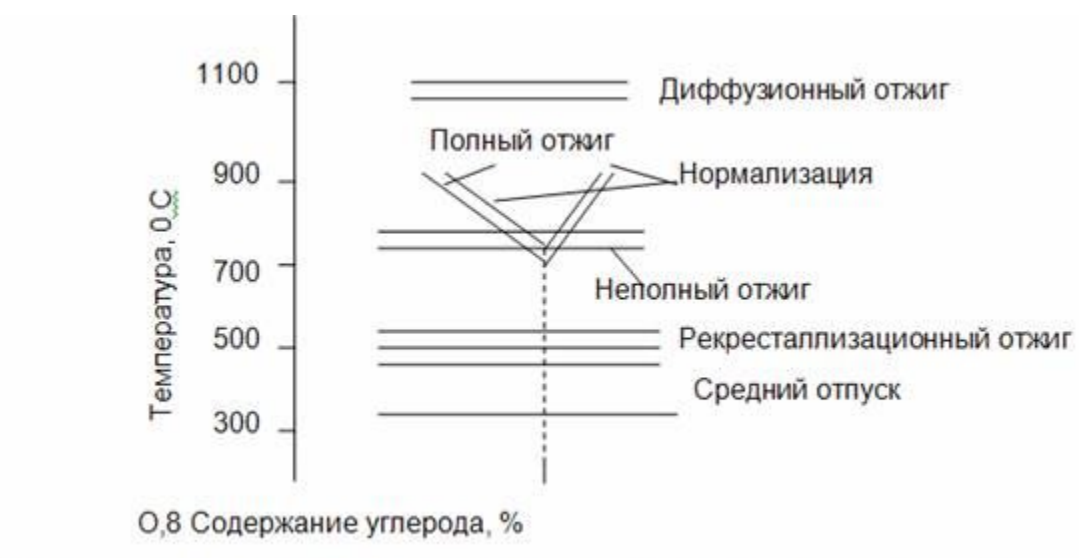
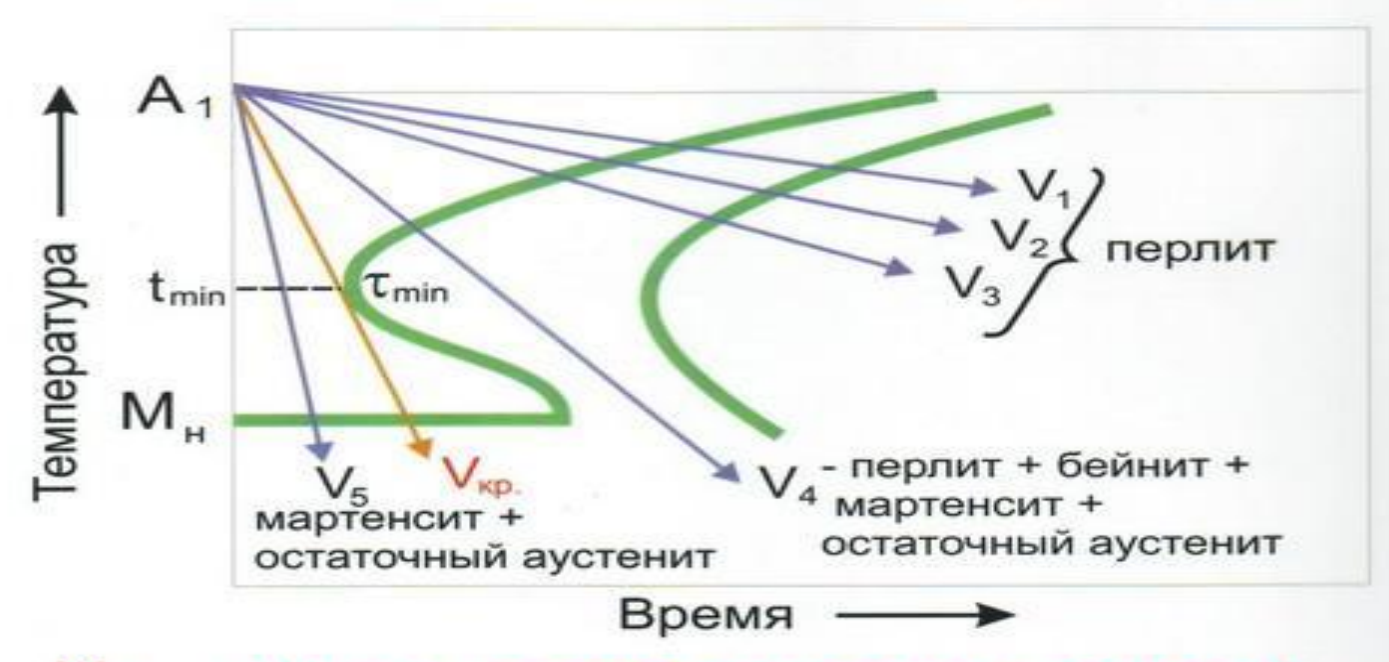


Рис.1.37.Температуры нагрева сталей при различных видах термообработки.

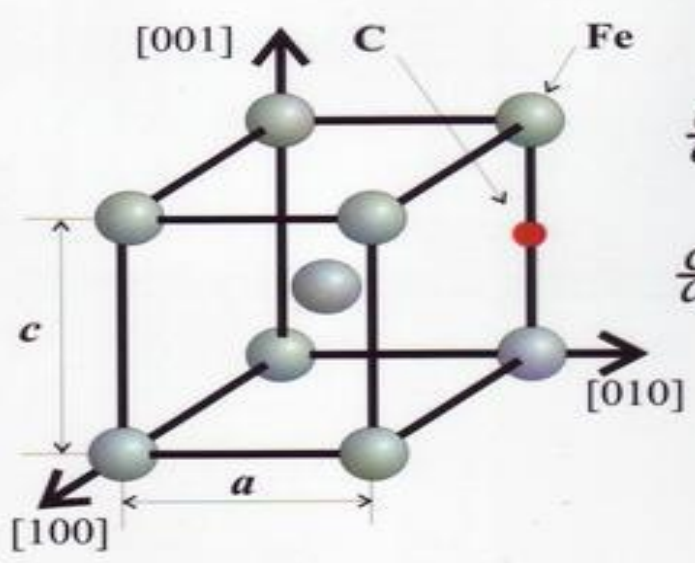
Превращение аустенита при непрерывном охлаждении



V<sub>кр.</sub> - *критическая скорость закалки* - минимальная скорость охлаждения, при которой весь аустенит будет переохлажден до мартенситного интервала

$$V_{sp} = \frac{A_1 - t_{min}}{1.5 \tau_{min}}$$

## Мартенситное превращение Мартенсит - пересыщенный твердый раствор внедрения углерода в а - железе



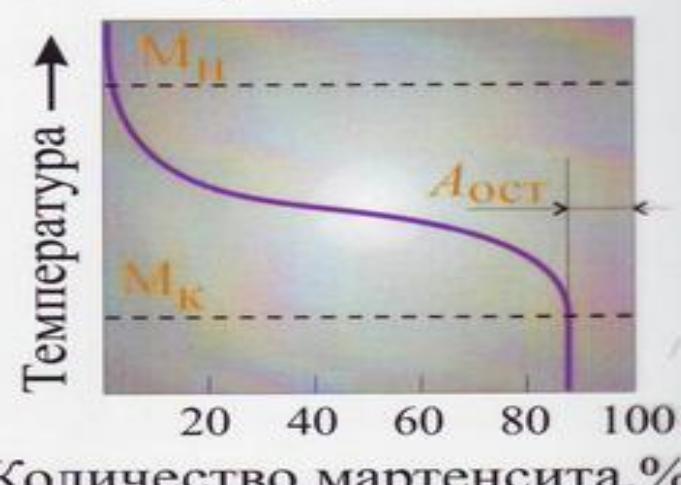
степень тетрагональности решетки мартенсита

$$\frac{C}{a} = 1 + 0.046 \cdot C \, (\%)$$

Кривая мартенситного превращения

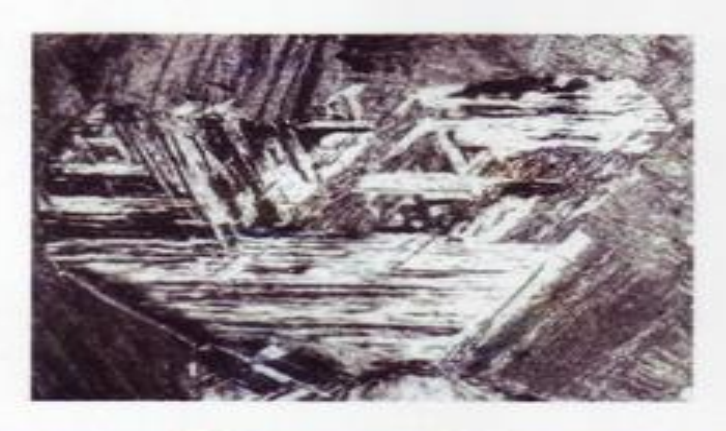
 $M_H$  и  $M_K$  - температуры начала и конца мартенситного превращения

Аост - остаточный аустенит



Количество мартенсита,%

### Структура мартенсита



Пакетный (реечный) мартенсит



Пластинчатый (двойникованный) мартенсит

## Отпуск закаленной стали

## Процессы, происходящие при отпуске закаленных углеродистых сталей:

- распад мартенсита с образованием карбидов (20-350°С)
- превращение остаточного аустенита по механизму бейнитной реакции (200-300°С)
- снятие внутренних напряжений и превращение ε карбида (Fe<sub>2</sub>C) в цементит (350-400°C)
- сфероидизация и коагуляция карбидов (450°С и выше)
- уменьшение плотности дислокаций, полигонизация и рекристаллизация ферритной матрицы (450°С и выше)

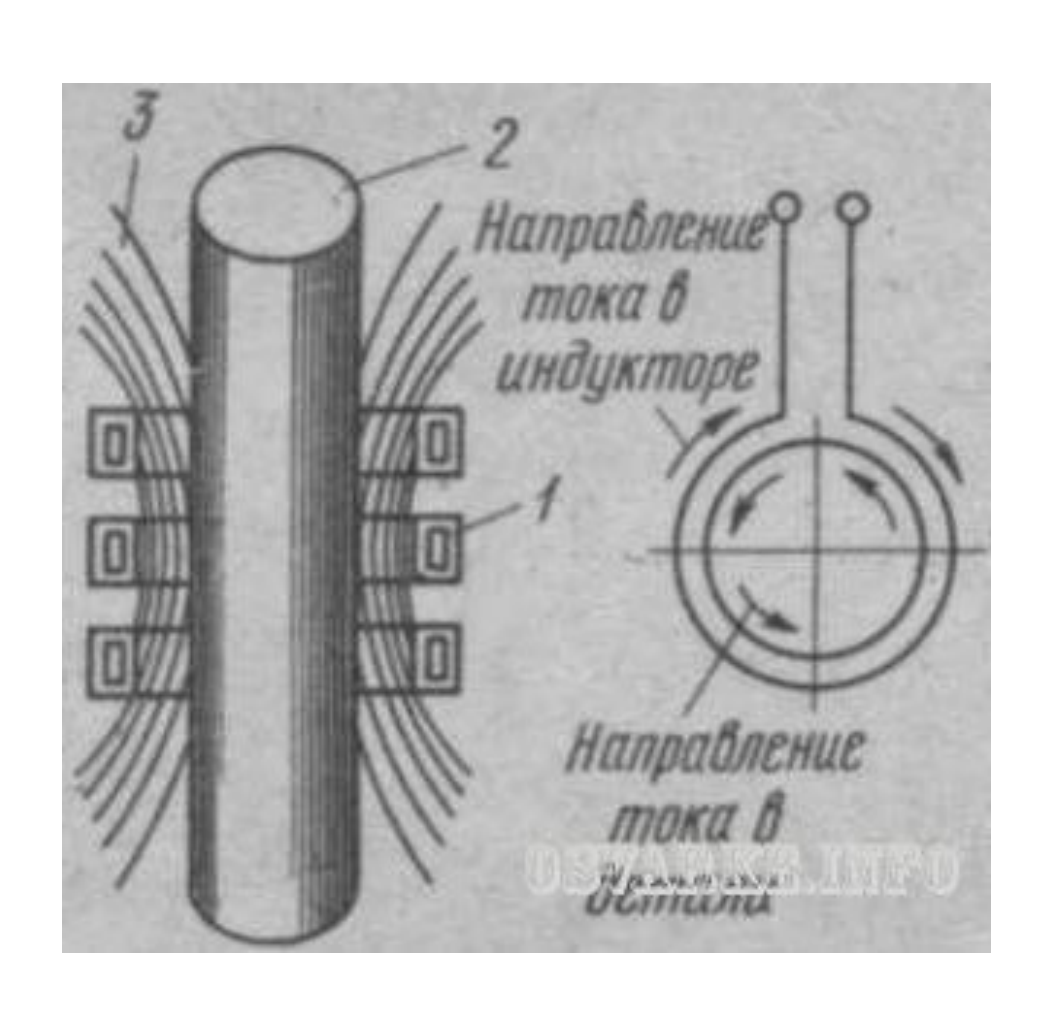
## Низкий отпуск



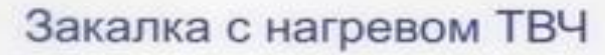
### Высокий отпуск



## ТВЧ закалка сталей



## Поверхностная закалка

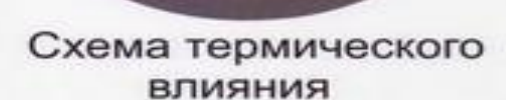




Лазерная закалка



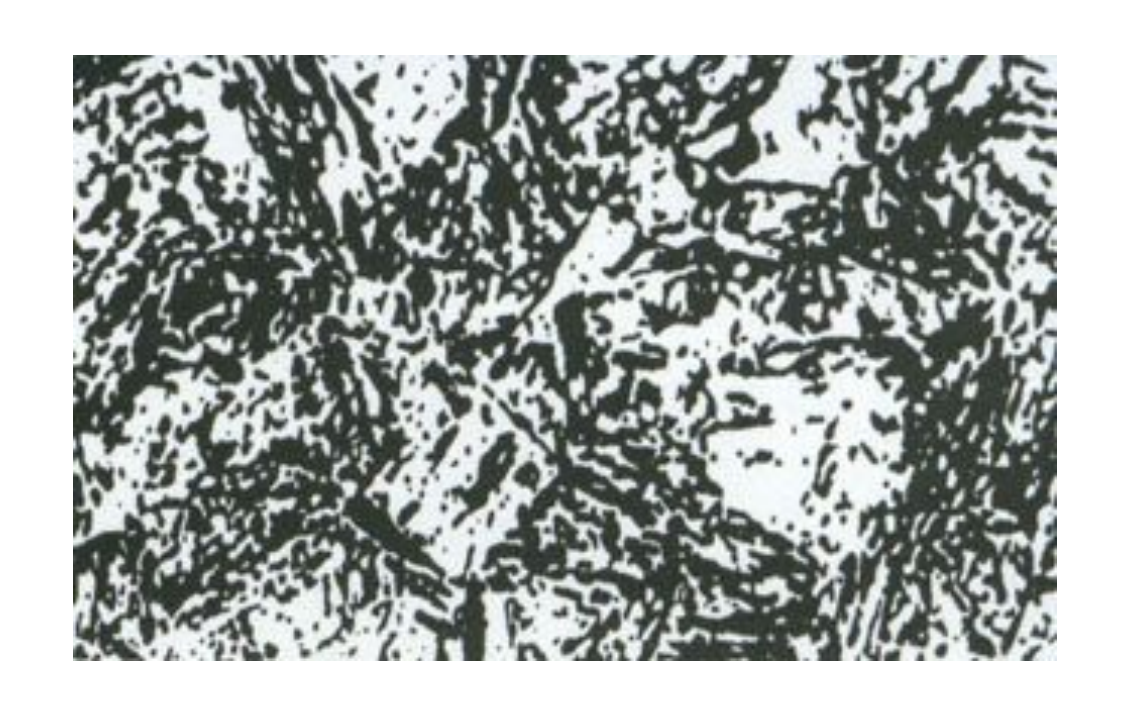






Сталь 20

## Микроструктура стали до закалки



## Микроструктура игольчатого мартенсита.



### Химико-термическая обработка

 это технологический процесс, при котором некоторыми элементами насыщается поверхностный слой стальных деталей с целью изменения его химического состава, а следовательно, структуры и свойств.

#### Различают три стадии химико-термической обработки:

- диссоциация процесс, протекающий во внешней среде и приводящий к выделению диффундирующего элемента в атомарном состоянии;
- адсорбция диффундирующего элемента поверхностью металла и растворение его в металле;
- диффузия элемента вглубь насыщаемого металла.
  Толщина слоя L зависит:
- от продолжительности насыщения т. При t = const L=k, √т.
- от температуры. При  $\tau = \text{const } L = k_2 e^{-Q/R}$  (где Q энергия активации диффузионных процессов).

Толщина слоя тем больше, чем выше концентрация диффундирующего элемента на поверхности.



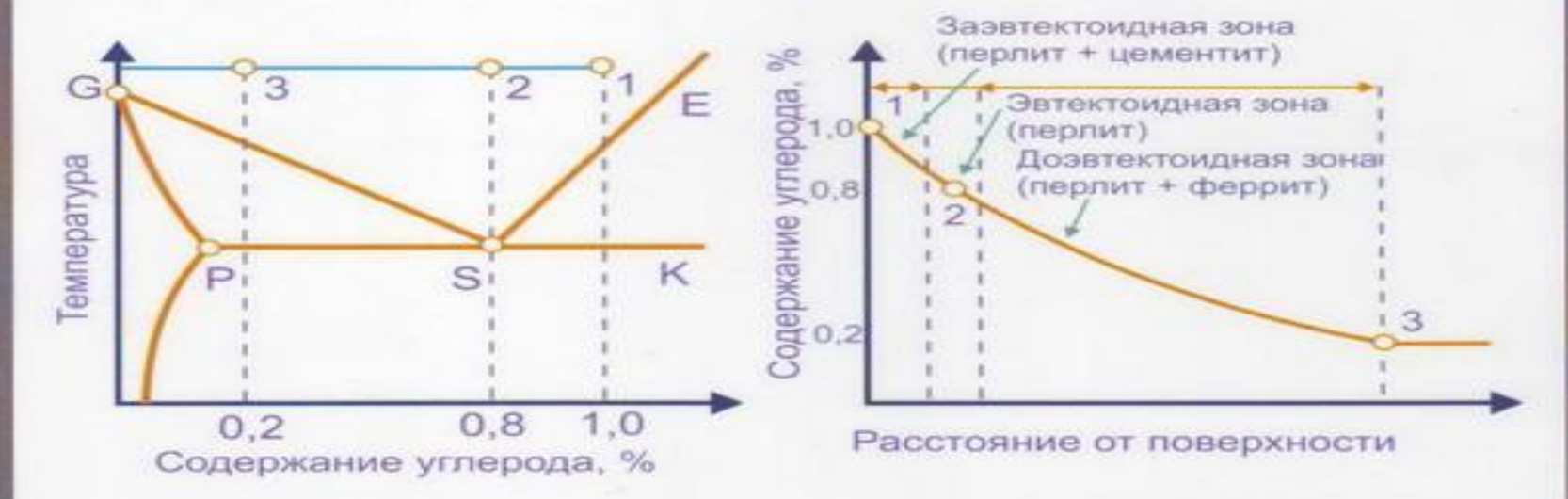


### Цементация стали

 процесс диффузионного насыщения поверхностного слоя стальных деталей углеродом.

Такой обработке подвергают стали с 0,10 - 0,20% С.

Содержание углерода в поверхностном слое - 0,8 - 1,0% С. Толщина науглероженного слоя - 0,5 - 2,0 мм.



**Цементация в твердом карбюризаторе.** Процесс осуществляют при 910-930°С в карбюризаторе, состоящем из древесного угля, 20-25% ВаСО, и 3-5% СаСО,.

$$2C + O_2 \Rightarrow 2CO$$
  
BaCO<sub>3</sub> + C  $\Rightarrow$  BaO + 2CO

Газовая цементация проводится при 930-950°С с использованием природного газа или жидких углеводородов (бензола, керосина ...). CH<sub>a</sub> ⇒ 2H<sub>a</sub> + C

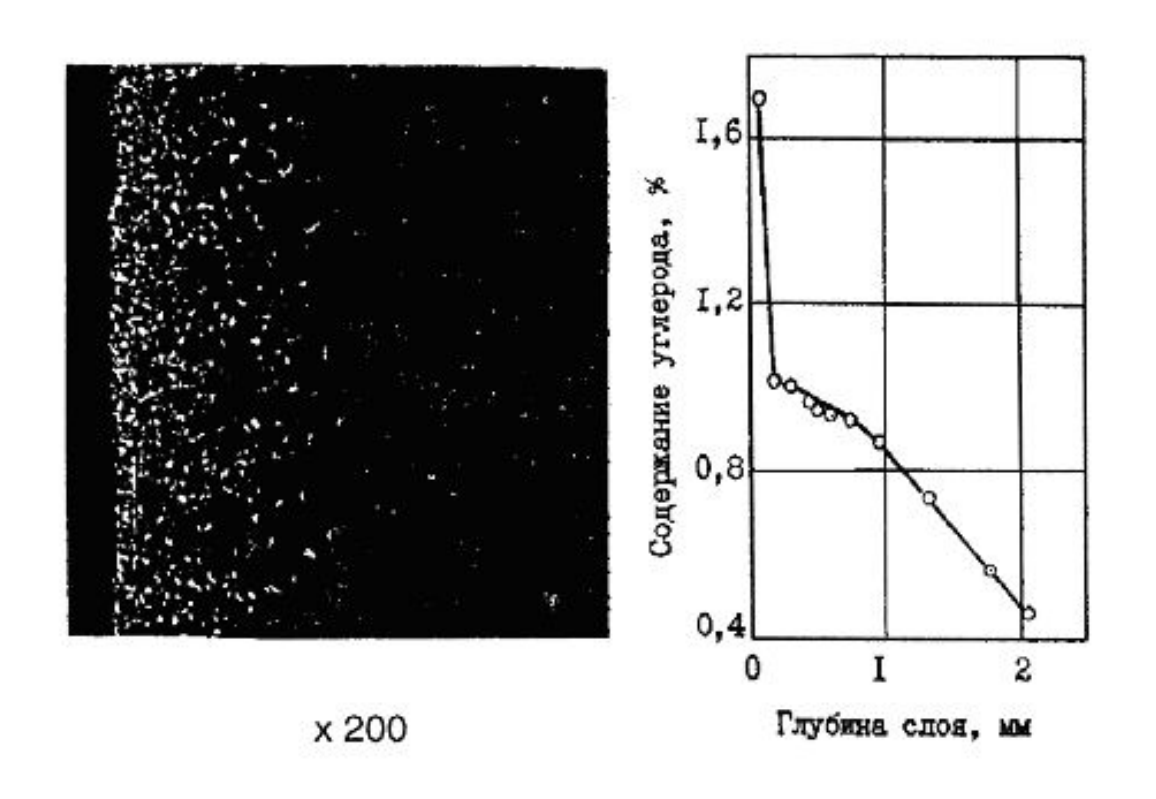
## Печь для цементации стали



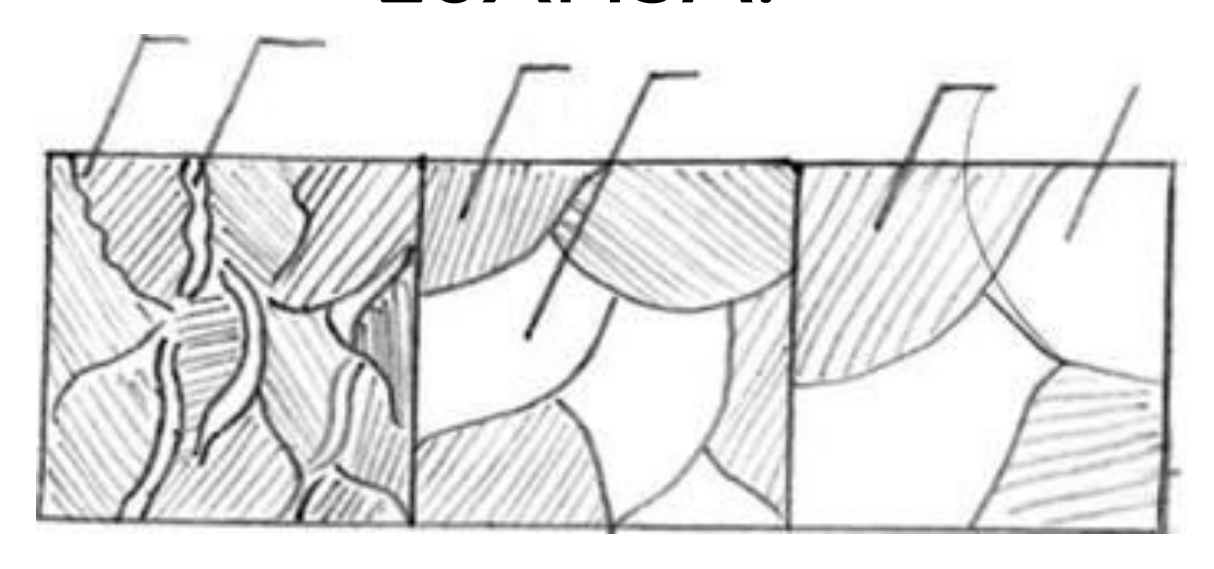
## ЦЕМЕНТАЦИЯ



## Цементация стали



## Микроструктура цементованного слоя стали 20XH3A.



## Микроструктура стали после цементации



## Азотирование стали

<u>Азотирование</u> - процесс диффузионного насыщения поверхностного слоя стальных деталей азотом.





α - азотистый феррит

у – азотистый аустенит

у'- нитрид Fe₄N

є - нитрид Fe₃N

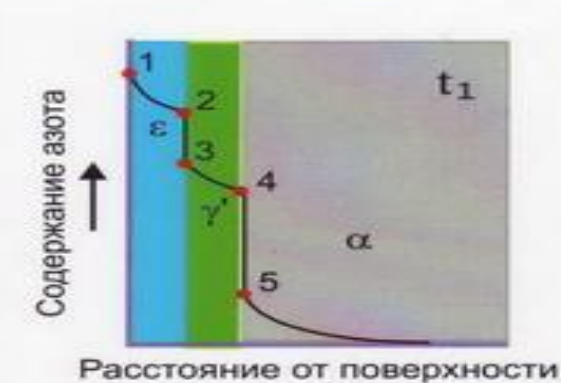
Азотирование проводят в среде аммиака:

2NH, ⇒ 2N + 6H

Температура азотирования

500 - 600°C

Толщина слоя 0,3 - 0,6 мм





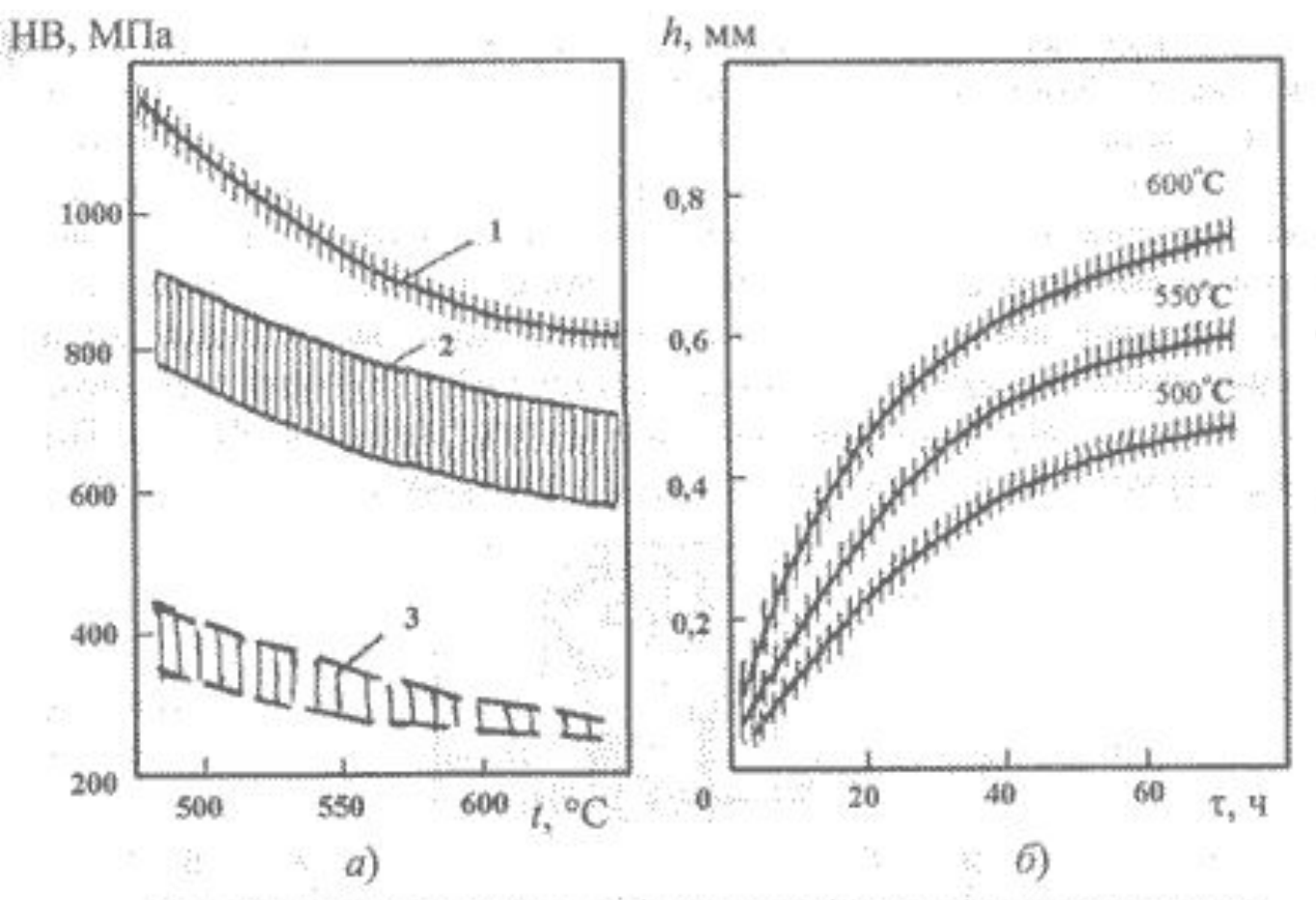
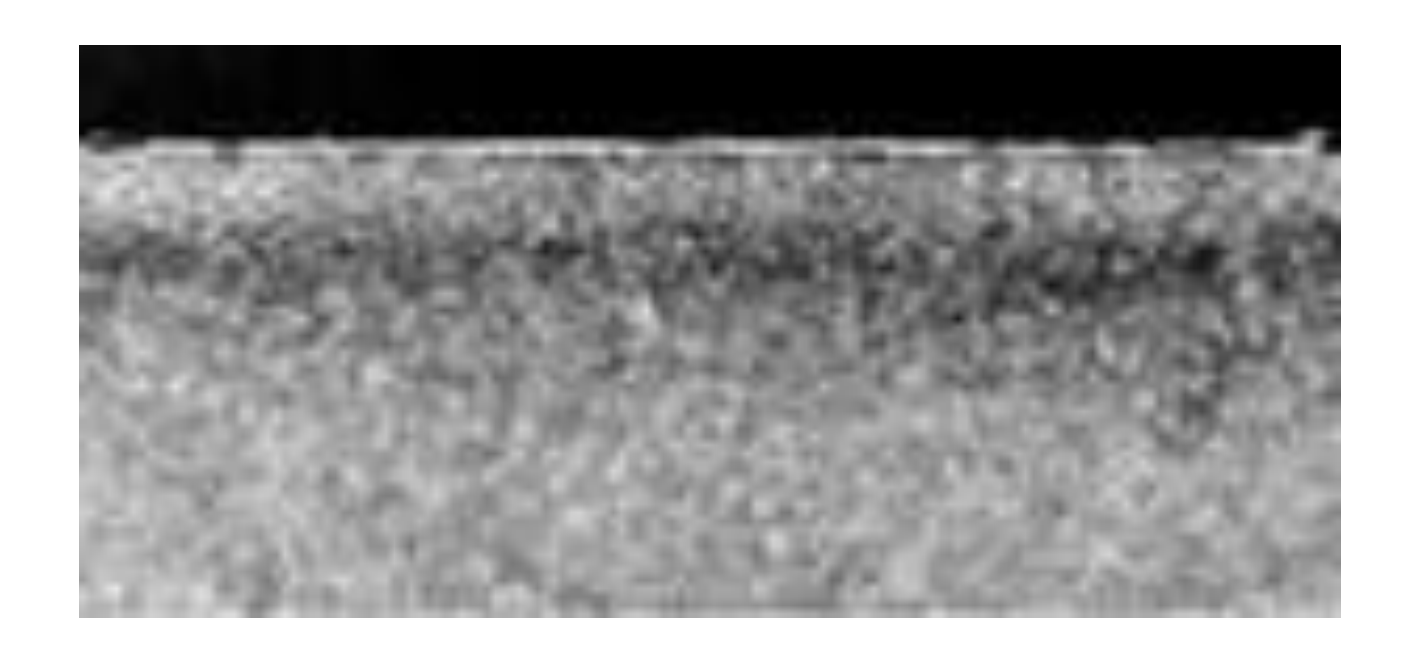


Рис. 2 Влияние температуры и продолжительности процесса на поверхностную твердость (a) и эффективную толщину h азотированного слоя ( $\delta$ ):

1 — сталь 38Х2МЮТА;
 2 — конструкционные среднеуглеродистые легированные стали, не содержащие алюминия и титана;
 3 — углеродистые стали (0,3...0,5 % C) заводской технологии (закалка и отпуск)

## Микроструктура азотированного слоя инструментальной **стали**



### Автоматные стали

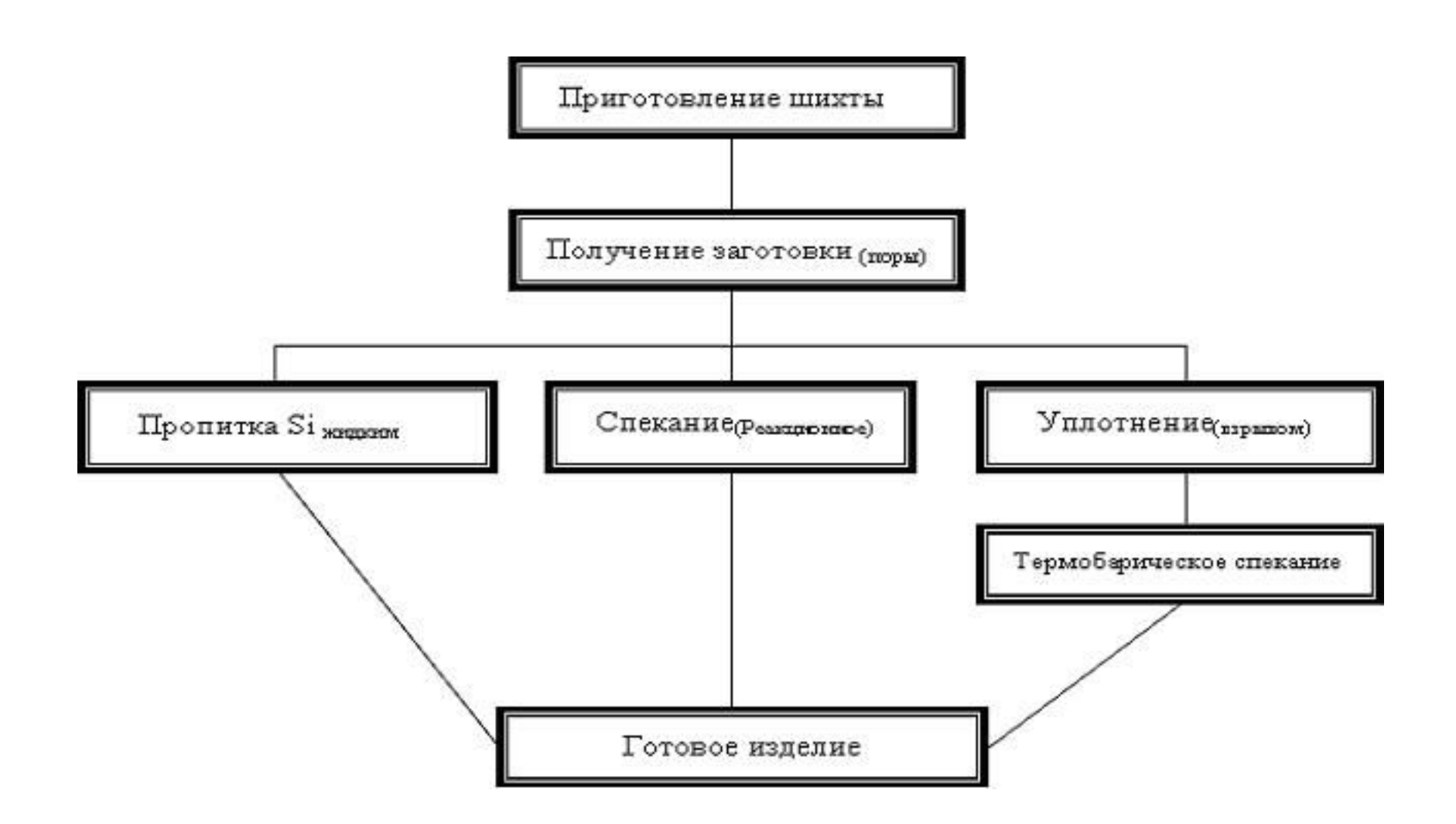
Автоматные стали отличаются хорошей обрабатываемостью резанием и предназначены для изготовления деталей мас - сового производства на станках-автоматах. Они имеют повышенное содержание серы и фосфора или легированы свинцом.

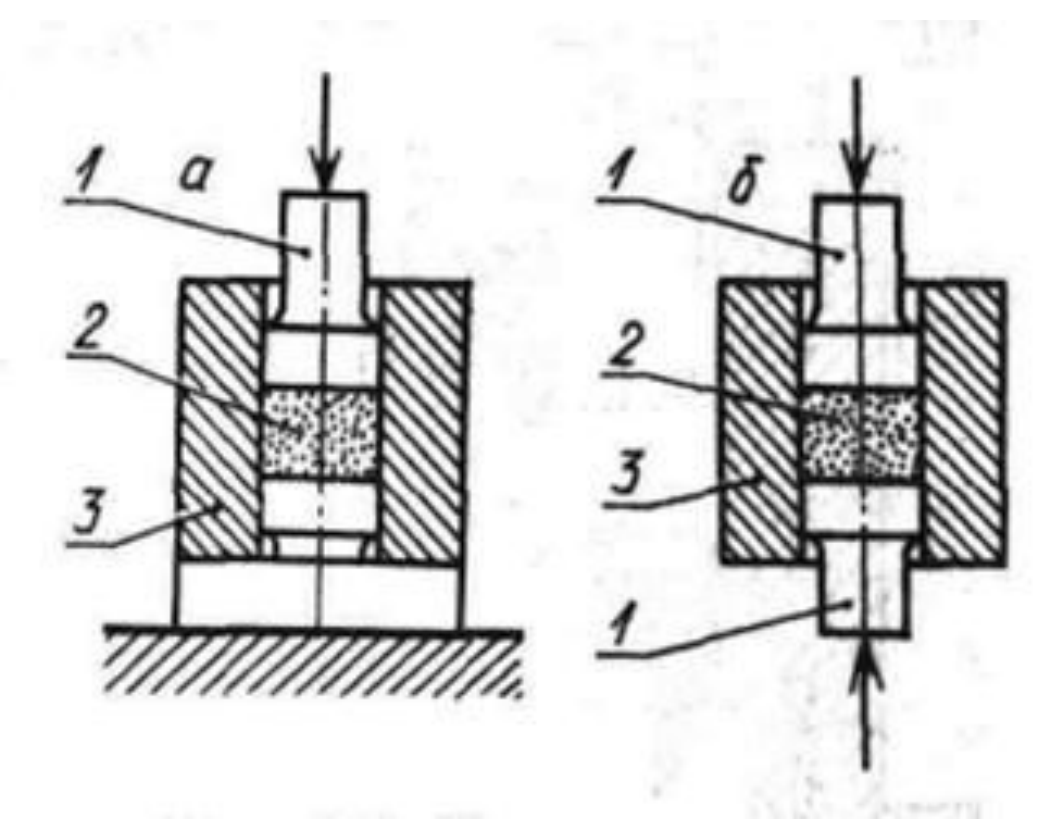
Маркировка: стали обозначаются буквой **A** и цифрами, указывающими среднее содержание углерода в сотых долях процента.

Если в стали присутствует свинец, то в маркировке после буквы А ставится буква С .

марка стали	Содержание, %					Свойства без термообработки	
	С	Mn	S	Р	Pb	$\sigma_{\!_{\rm B}}$ ,МПа	8,%
A12	0.08-0.12	0.7-1.0	0.08-0.20	0.08-0.15		420	22
A20	0.17-0.24	0.7-1.0	0.08-0.15	<0.06		460	20
А40Г	0.37-0.45	1.2-1.55	0.18-0.30	<0.05		600	14
AC40	0.37-0.45	0.8-1.1	0.15-0.30	<0.04	0.15-0.3	580	19



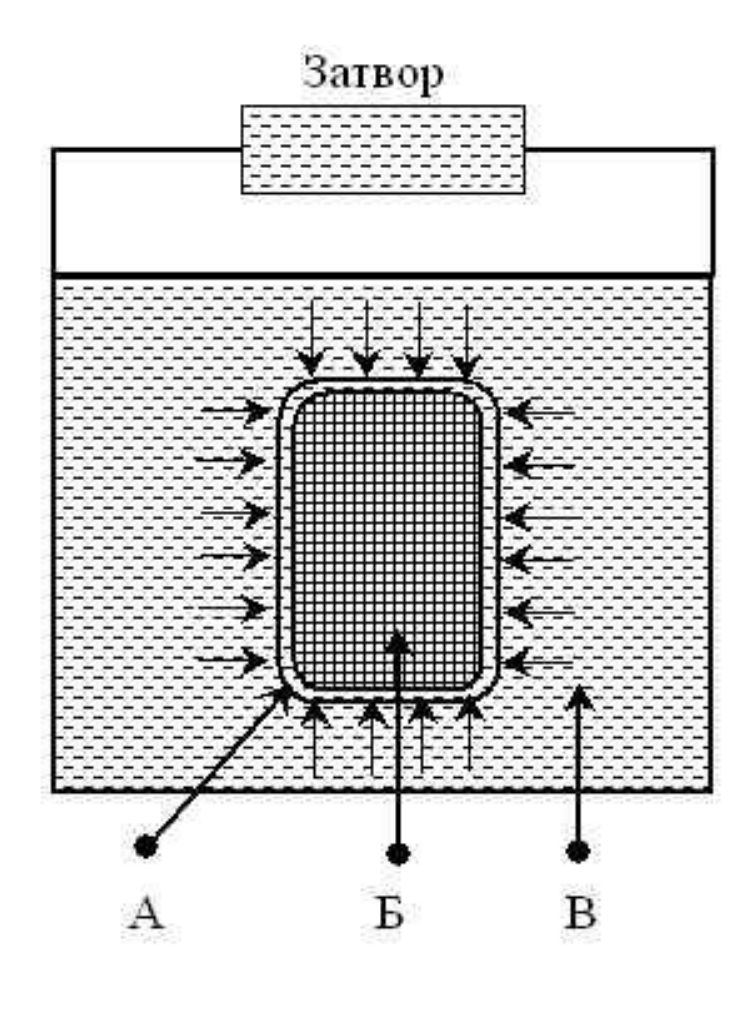




ФОРМОВАНИЕ ПОРОШКОВ



## Изостатическое прессование





## Твердые сплавы для режущего инструмента

Твердые сплавы - это сплавы, изготовленные методом порошковой металлургии и состоящие из карбидов тугоплавких металлов (WC, TiC, TaC), соединенных кобальтовой связкой.

Твердые сплавы сочетают высокую твердость (74-76HRC) и износостойкость с высокой теплостойкостью и применяются для резания с высокими скоростями.

Различают 3 группы сплавов.

1. Вольфрамовые сплавы (система WC-Co). ВКЗ, ВК6, ВК8, ВК10, ВК20 и другие.

Они маркируются буквами ВК и цифрой, показывающей содержание кобальта в процентах.

2. Титановольфрамовые сплавы (система TiC-WC-Co). Т30К4, Т15К6, Т5К10 и другие.

Они маркируются буквами Т и К и цифрами, стоящими за этими буквами, показывающими содержание в процентах титана и кобальта.

3. Титанот анталовольфрамовые сплавы (система TiC-TaC-WC-Co). ТТ7К12, ТТ8К6 и другие.

В маркировке после букв TT стоит цифра, указывающая количество карбидов титана и вольфрама в процентах. Цифра после буквы К указывает содержание кобальта.

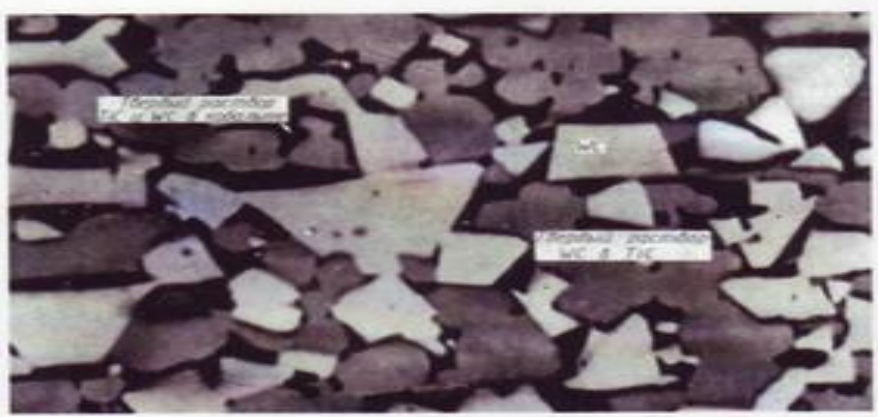
## Твердые сплавы для режущего инструмента

Микроструктура вольфрамового сплава ВК15.



X3000

Микроструктура титановольфрамового сплава T15K6



X3000